

**ИФО | 01.03.04 | ПМ | 6-й семестр**

# **Строительные конструкции**

## **Лекция №15**



НАЦИОНАЛЬНЫЙ ИССЛЕДОВАТЕЛЬСКИЙ  
МОСКОВСКИЙ ГОСУДАРСТВЕННЫЙ

**СТРОИТЕЛЬНЫЙ  
УНИВЕРСИТЕТ**

www: [mgsu.ru/universityabout/Struktura/Kafedri/ZhBK/](http://mgsu.ru/universityabout/Struktura/Kafedri/ZhBK/)

e-mail: [gbk@mgsu.ru](mailto:gbk@mgsu.ru); [dpekin@mail.ru](mailto:dpekin@mail.ru)

тел.: +7 495 287 49 14 доб. 3036, 3084

Пекин Дмитрий Анатольевич, доцент, к.т.н.

# Лекция №15 – Расчет стальных конструкций

По первой группе предельных состояний (I группе ПС):

- Расчетные характеристики материалов
- Центрально растянутые и сжатые элементы
- Изгибаемые элементы
- Устойчивость элементов при центральном сжатии
- Сжатие или растяжение элементов с изгибом
- Устойчивость при внецентренном сжатии
- Устойчивость плоской формы изгиба стержней
- Дополнительные проверки прочности

# Расчетные характеристики материалов:

Проката, гнутых профилей и труб на **растяжение, сжатие, изгиб**:

- $R_y = R_{yn}/\gamma_m$  – расчетное сопротивление стали по пределу текучести
- $R_u = R_{un}/\gamma_m$  – расчетное сопротивление стали по временному сопротивлению

На **сдвиг**:

- $R_s = 0,58R_{yn}/\gamma_m$  – расчетное сопротивление стали срезу

На **смятие** торцевой поверхности (при наличии пригонки) и местное в цилиндрических шарнирах (цапфах) при плотном касании:

- $R_p = R_{un}/\gamma_m$  и  $R_{lp} = (0,5R_{un})/\gamma_m$  – соответствующие расчетные сопротивления

На диаметральному **сжатию** катков (при свободном касании в конструкциях с ограниченной подвижностью)

- $R_{cd} = (0,025R_{un})/\gamma_m$  – расчетное сопротивление диаметральному сжатию катков
- $\gamma_m$  – коэффициент надежности по **материалу** согласно табл. 3 СП 16.13330

# Коэффициенты условий работы:

Элементы конструкций		$\gamma_c$
1	<b>Балки</b> сплошного сечения и сжатые элементы ферм перекрытий под залами театров, клубов, кинотеатров, под трибунами, под помещениями магазинов, книгохранилищ и архивов и т.п. при временной нагрузке, не превышающей вес перекрытий	0,90
2	<b>Колонны:</b> общественных и жилых зданий при постоянной нагрузке, равной не менее 0,8 расчетной	0,95
	многоэтажных зданий высотой до 150 м включительно	0,95
	двутаврового сечения многоэтажных зданий высотой более 150 м	0,90
	коробчатого сечения многоэтажных зданий высотой более 150 м	0,87
	опоры водонапорных башен	0,95
3	<b>Колонны</b> одноэтажных производственных зданий с мостовыми кранами	1,05
4	Сжатые <b>основные элементы</b> (кроме опорных) решетки составного таврового сечения из двух уголков в сварных фермах покрытий и перекрытий при расчете на устойчивость указанных элементов с гибкостью $>60$	0,80

# Коэффициенты условий работы:

	Элементы конструкций	$\gamma_c$
5	<b>Растянутые элементы</b> (затяжки, тяги, оттяжки, подвески) при расчете на прочность по неослабленному сечению	0,90
6	<b>Элементы конструкций</b> из стали с пределом текучести до 440 МПа, несущие статическую нагрузку, при расчете на прочность по сечению, ослабленному отверстиями для болтов (кроме фрикционных соединений)	1,10
7	<b>Сжатые элементы решетки</b> пространственных решетчатых конструкций из одиночных уголков, прикрепляемые одной полкой (для неравнополочных уголков – большей полкой):	
	а) непосредственно к поясам сварными швами либо двумя болтами и более, установленными вдоль уголка: раскосы по рисунку 15, а и распорки по рисунку 15, б, в, е	0,90
	раскосы по рисунку 15, в, г, д, е	0,80
	б) непосредственно к поясам одним болтом или через фасонку независимо от вида соединения	0,75

# Коэффициенты условий работы:

Элементы конструкций		$\gamma_c$
8	<b>Сжатые элементы</b> из одиночных уголков, прикрепляемых одной полкой (для неравнополочных уголков - меньшей полкой), за исключением элементов плоских ферм из одиночных уголков и элементов, указанных в позиции 7 настоящей таблицы, раскосов по рисунку 15, б, прикрепляемых непосредственно к поясам сварными швами либо двумя болтами и более, установленными вдоль уголка, и плоских ферм из одиночных уголков	0,75
9	<b>Опорные плиты</b> из стали с пределом текучести до 390 МПа, несущие статическую нагрузку, толщиной, мм:	
	а) до 40	1,20
	б) св. 40 до 60	1,15
	в) св. 60 до 80	1,10

Примечания: 1 Коэффициенты  $\gamma_c < 1$  при расчете совместно учитывать не следует

2 При расчете на прочность по сечению, ослабленному отверстиями для болтов, коэффициенты условий работы, приведенные в позициях 6 и 1; 6 и 2; 6 и 3 следует учитывать совместно

3 При расчете опорных плит коэффициенты, приведенные в позициях 9 и 2, 9 и 3, следует учитывать совместно

4 Коэффициенты для элементов, приведенных в позициях 1 и 2, следует учитывать также при расчете их соединений

5 В случаях, не оговоренных в настоящей таблице, в формулах следует принимать  $\gamma_c = 1$

# Центрально растянутые элементы

По **I группе ПС** рассчитываются в предположении **равномерного** распределения напряжений в поперечном сечении по формулам:

$$\sigma = \frac{N}{A_n} \leq R_y \cdot \gamma_c \quad \text{и} \quad \sigma_{pl} = \frac{N}{A_n} \leq \frac{R_u}{\gamma_u} \cdot \gamma_c$$

где  $N = N_n \cdot \gamma_f$  – продольная сила в элементе при расчетной нагрузке

$A_n$  – площадь нетто поперечного сечения элемента;  $\gamma_c$  – коэффициент условий работы

$R_y$  – расчетное сопротивление стали растяжению по пределу текучести

$R_u$  – расчетное сопротивление стали растяжению по временному сопротивлению

$\gamma_m$  – коэффициент надежности по материалу

$\gamma_u = 1,3$  – коэффициент надежности в расчетах по временному сопротивлению

Расчет **центрально сжатых** элементов при условии обеспечения их устойчивости выполняется по аналогии с центрально растянутыми элементами

# Изгибаемые элементы

По **I группе ПС** при пролетах значительно превышающих высоту поперечного сечения и согласно гипотезы плоских сечений (Бернулли) рассчитываются по формулам:

$$\sigma_{max} = \frac{M}{W_{n,min}} \leq R_y \cdot \gamma_c \quad \text{и} \quad \tau = \frac{Q \cdot S}{I \cdot t_w} \leq R_s \cdot \gamma_c$$

где  $M$  и  $Q$  – максимальные момент и поперечная сила от расчетной нагрузки

$W_{n,min}$  – минимальный момент сопротивления нетто поперечного сечения элемента

$S$  – статический момент сдвигаемой части сечения относительно нейтральной оси

$I$  и  $t_w$  – момент инерции всего сечения и толщина стенки элемента

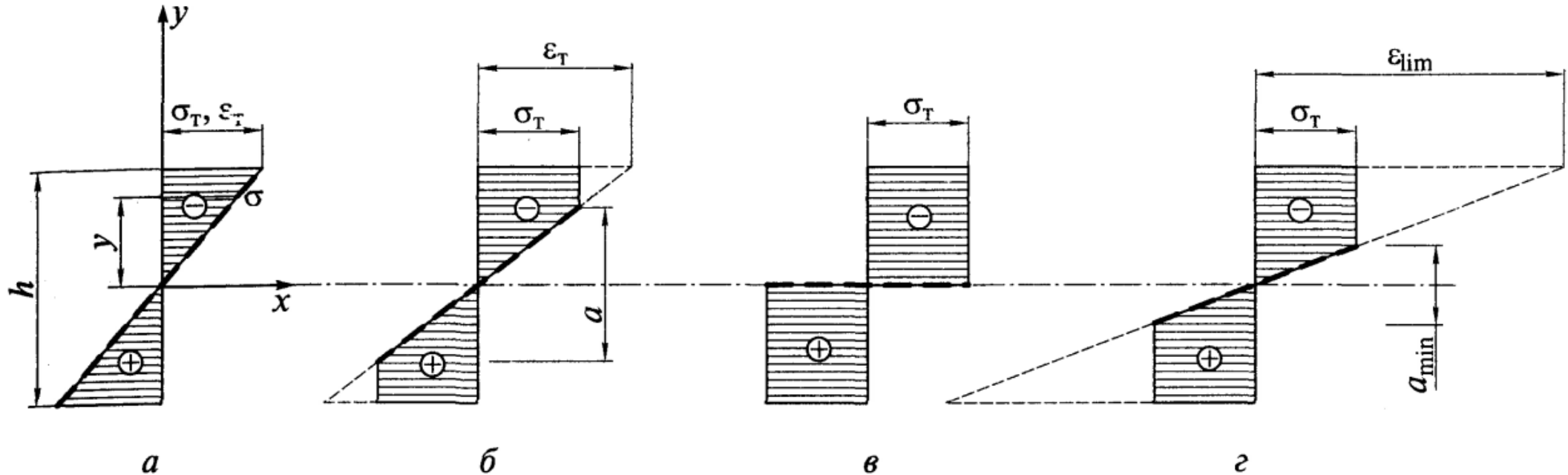
$R_y$  и  $R_s$  – расчетное сопротивление стали растяжению по пределу текучести и сдвигу

$\gamma_c$  – коэффициент условий работы



# Область применения гипотезы Бернулли

Экспериментально подтверждается при пролетах значительно превышающих высоту поперечного сечения – в 5 и более раз, т. о. изменение деформаций по высоте сечения происходит по **линейному** закону, напряжения распределяются аналогично только **до** предела текучести  $\sigma_T$  – рис. **а**):



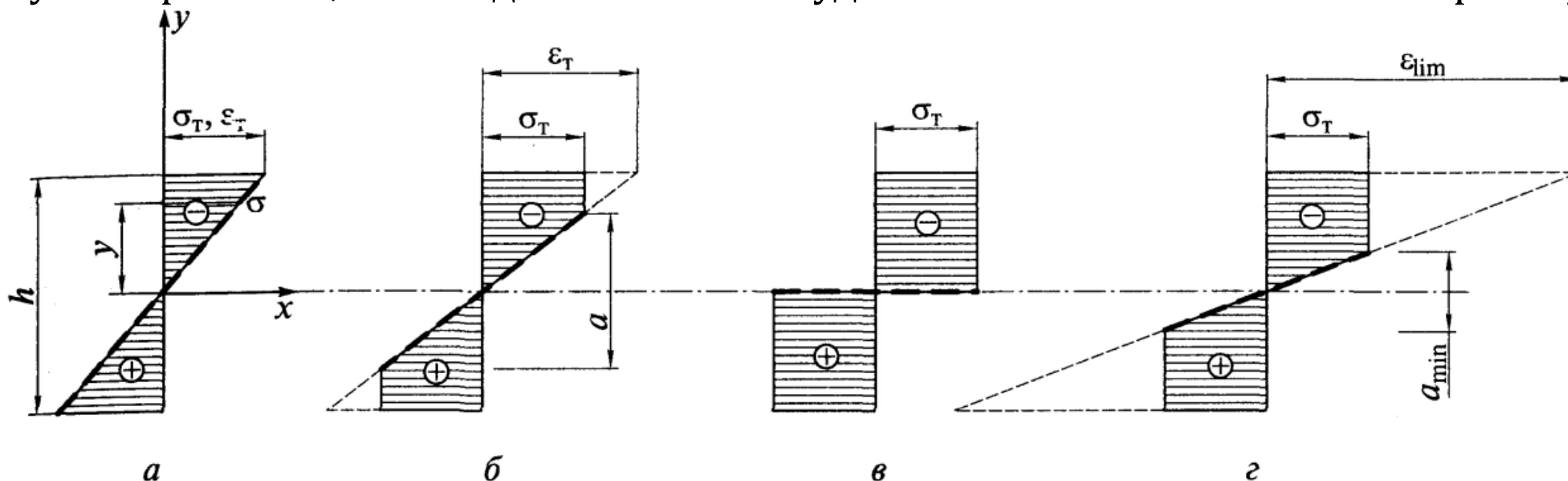
а) – в упругой стадии; б) – в упруго-пластической

в) – пластический шарнир; г) – при ограниченной пластичности

# Упругопластическая работа

Приводит к увеличению деформаций в сечении балки – штриховая линия на рис. б), при этом рост напряжений будет ограничен пределом текучести  $\sigma_T$  – сплошная линия на рис. б)

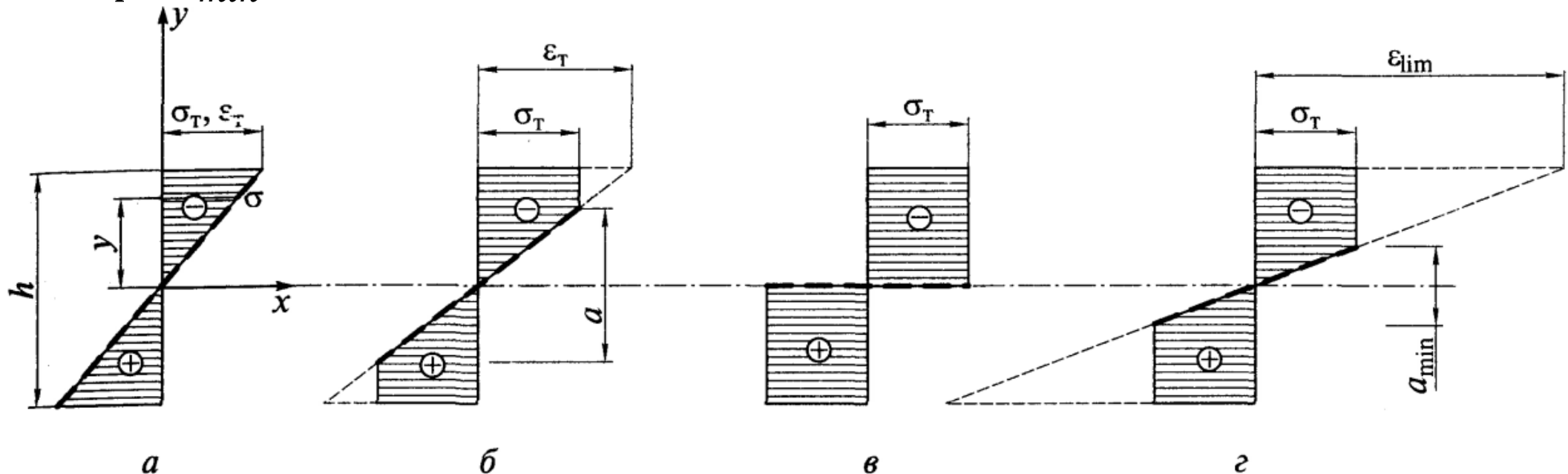
Упругое ядро высотой  $a$ , где  $\sigma < \sigma_T$ , будет уменьшаться, а прогиб балки  $y$  будет резко нелинейно возрастать и несущая способность асимптотически приближаться к **предельной**. Полное **исчерпание** несущей способности балки по указанной схеме наступит при  $a \rightarrow 0$ , т. е. когда все сечение будет охвачено пластичностью – рис. в)



# Пластический шарнир

Соответствует эпюре напряжений, состоящей из двух разнозначных прямоугольников с ординатами  $\sigma = \pm\sigma_T$ . При этом график деформаций вырождается в горизонтальную линию – штриховая линия на рис. **в**), при этом деформации  $\varepsilon \rightarrow \pm\infty$ , что практически невозможно, так как материал обладает ограниченной деформативностью  $\varepsilon_{lim}$ , после которой наступает разрушение – рис. **г**)

Реальное разрушение металлических балок происходит всегда в упругопластической стадии при  $a_{min} > 0$

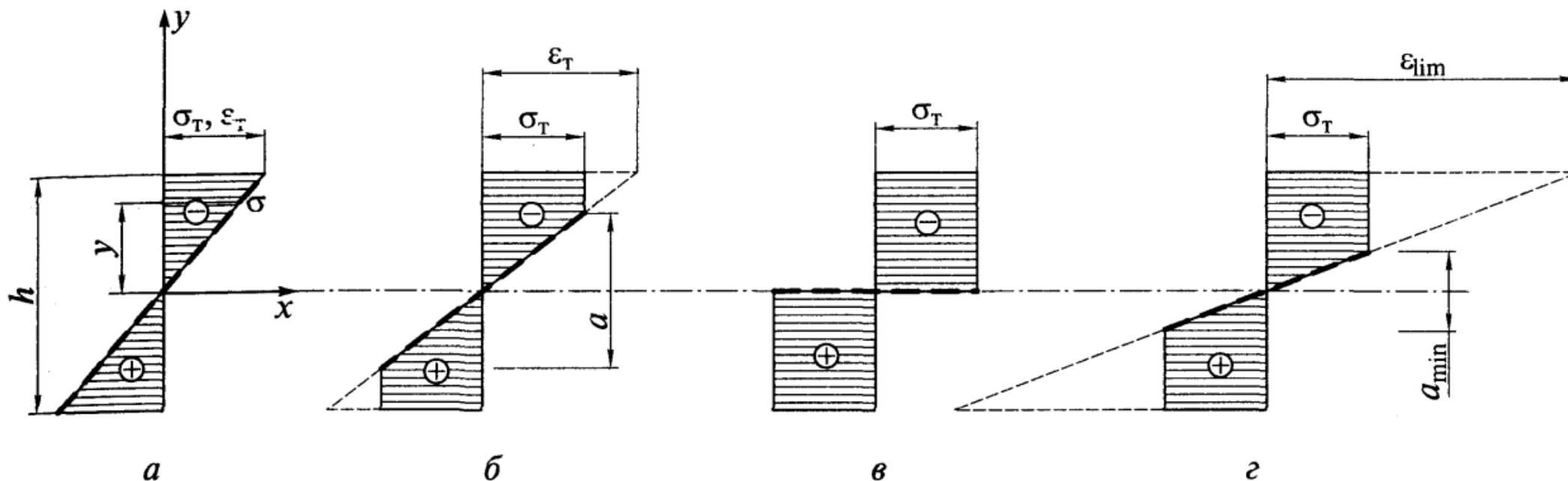


# Пределный момент

В пластическом шарнире для балки произвольного сечения определяется исходя из эпюры, представленной на рис. **в**), по формуле:

$$M_{\text{пл}} = \sigma_T \iint_A y dA = \sigma_T (|S_B| + |S_H|) = \sigma_T \cdot W_{\text{пл}}$$

где  $S_B$  и  $S_H$  – статические моменты верхней и нижней частей относительно нейтральной оси при пластическом шарнире;  $dA$  – элементарная площадь сечения



# Пластический момент сопротивления

В целях унификации с **упругим** моментом сопротивления  $W$  обозначается  $W_{\text{пл}}$ , но имеет другой физический смысл и равен абсолютной сумме статических моментов верхней и нижней частей сечения относительно нейтральной оси:

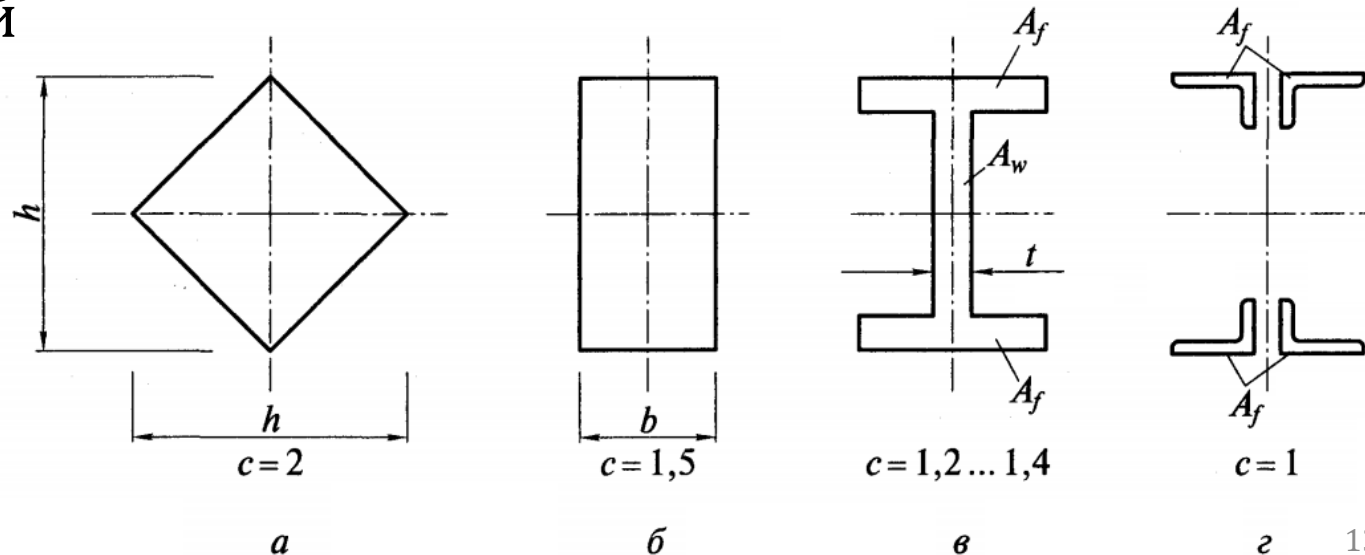
$$W_{\text{пл}} = |S_{\text{В}}| + |S_{\text{Н}}|$$

Для симметричных сечений, показанных на рисунке:  $S_{\text{В}} = S_{\text{Н}} = S \rightarrow W_{\text{пл}} = 2S$

где  $S$  – статический момент полусечения относительно нейтральной оси

Коэффициент  $c$ , характеризующий резерв несущей способности изгибаемого элемента и обусловленный **пластической** работой материала:

$$c = \frac{W_{\text{пл}}}{W} = \frac{M_{\text{пл}}}{M}$$



# Коэффициент резерва несущей способности

Для двутаврового сечения – рис. **в**), вычисляется следующим образом:

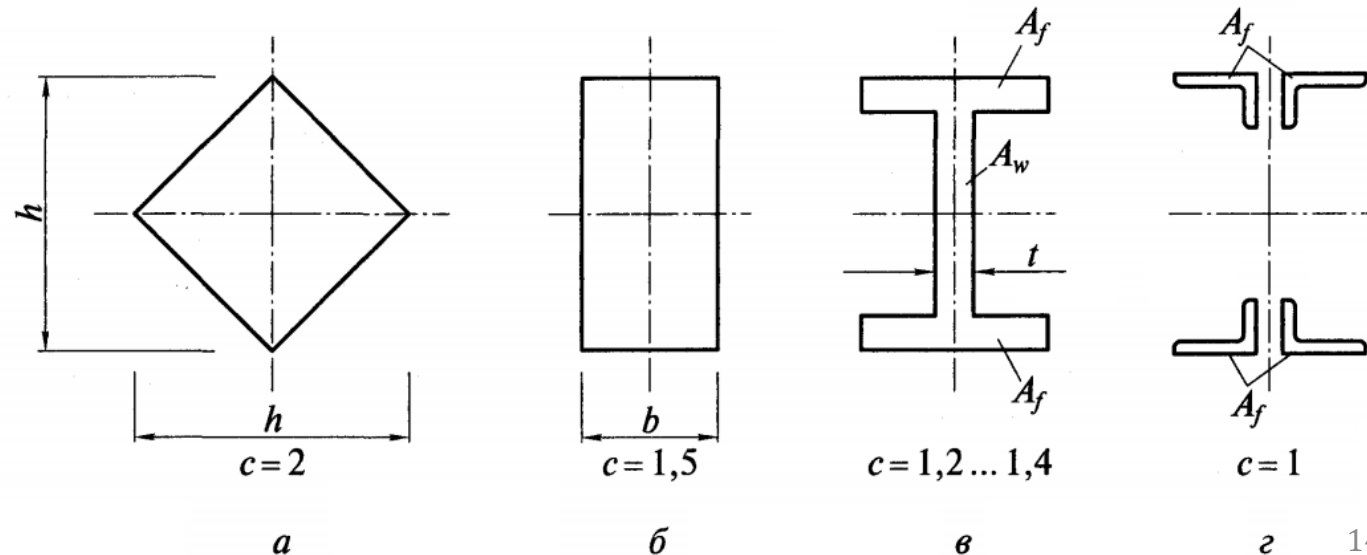
$$W_{\text{ПЛ}} = 2S \cong 2 \left( A_f \frac{h}{2} + \frac{A_w}{2} \cdot \frac{h}{4} \right) = A_f \cdot h + A_w \frac{h}{4} = A_w \cdot h \left( \frac{A_f}{A_w} + \frac{1}{4} \right)$$

$$W = \frac{2I}{h} \cong \frac{2}{h} \left[ 2A_f \left( \frac{h}{2} \right)^2 + \frac{t \cdot h^3}{12} \right] = A_f \cdot h + A_w \frac{h}{6} = A_w \cdot h \left( \frac{A_f}{A_w} + \frac{1}{6} \right)$$

где  $A_f/A_w$  – отношение площадей поперечного сечения пояса и стенки,

тогда коэффициент  $c$ :

$$c = \frac{W_{\text{ПЛ}}}{W} = \frac{\frac{A_f}{A_w} + \frac{1}{4}}{\frac{A_f}{A_w} + \frac{1}{6}}$$

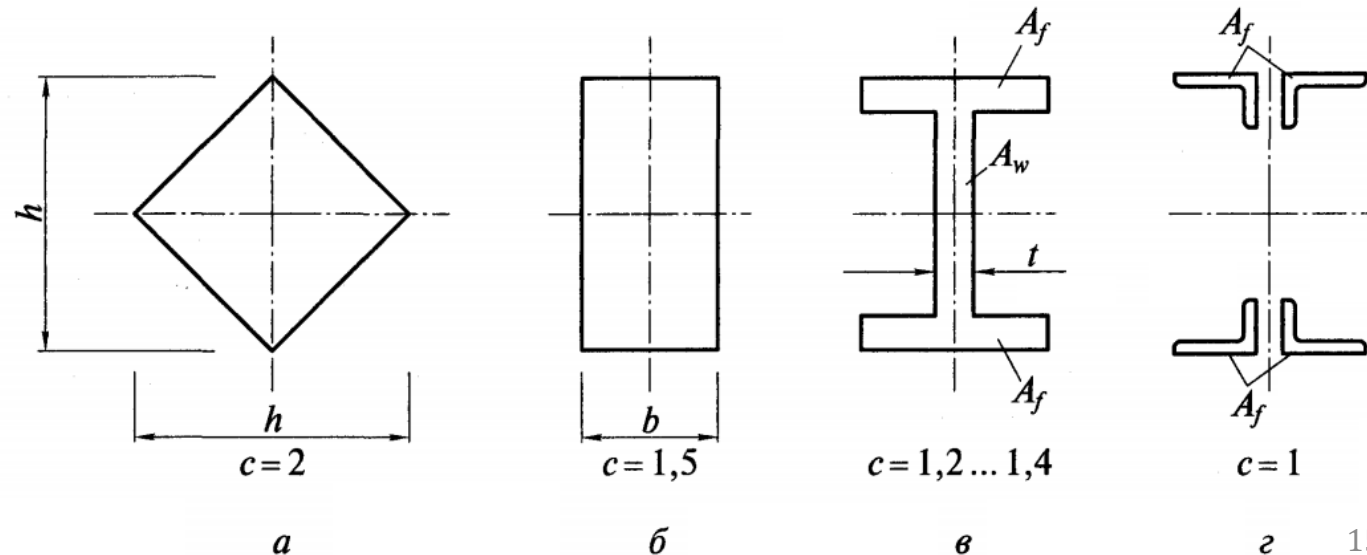


# Коэффициенты резерва несущей способности

Устремляя площадь поясов двутавра к нулю  $A_f \rightarrow 0$ , из двутаврового – рис. **в)** получаем прямоугольное сечение – рис. **б)**, а из предыдущей формулы  $c = 1,5$ , т. е. при использовании пластических деформаций несущая способность балки прямоугольного сечения возрастает в 1,5 раза

Устремляя площадь стенки к нулю  $A_w \rightarrow 0$ , как и в предыдущем случае, из двутавра получаем расчетное сечение фермы либо балки с гибкой стенкой – рис. **г)**, в которых изгибающий момент воспринимается практически только **поясами**, тогда из предыдущей формулы получаем  $c = 1,0$

Действительно, **пояса** фермы при шарнирном сопряжении элементов в узлах работают на **осевое** растяжение (сжатие). Появление в поясах **пластических** деформаций приводит к исчерпанию несущей способности **изгибаемого** элемента (фермы), поэтому для таких сечений пластического резерва нет



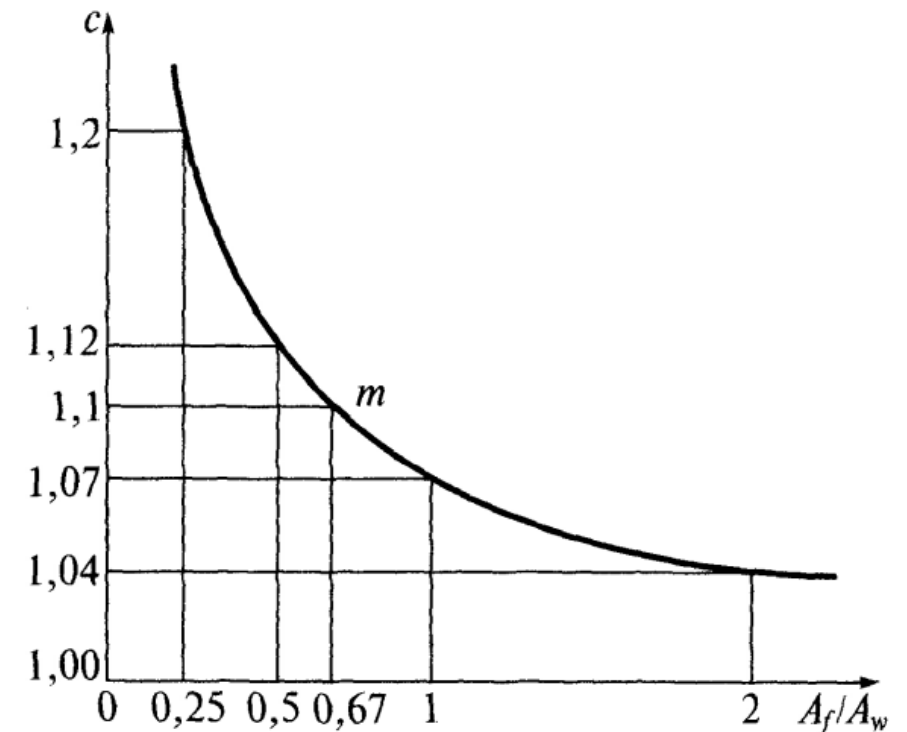
# Коэффициент резерва для двутавров

Для **прокатных** двутавров различных типов в среднем  $A_f/A_w \cong 0,67$ , чему соответствует значение  $c = 1,1$

Для **составных** двутавров значения коэффициента  $c$ , вычисленные по предыдущей формуле, приведены на рисунке в диапазоне практически используемых отношений  $A_f/A_w$

Практический выбор формы поперечного **сечения** изгибаемых элементов зависит от **многих** факторов, среди которых одним из главных является **расход** материала, так как стоимость его составляет около **80%** общей стоимости конструкции

Распределение **пластических** деформаций по длине балки зависит от типа опор и характер распределения нагрузит по ее длине





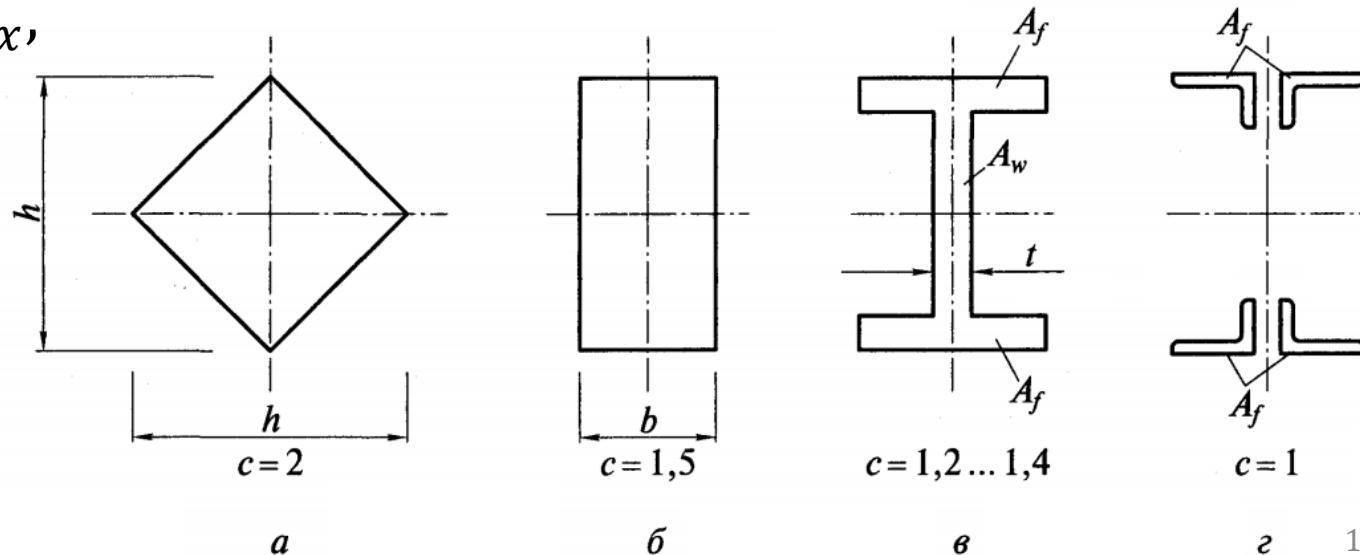
# Расчет изгибаемых элементов с учетом пластичи

Выполняется по аналогии с упругой стадией работы путем замены  $W_n$  на  $W_{n,пл} = c \cdot W_n$  по формулам:

$$\sigma = \frac{M}{c \cdot W_n} \leq R_y \cdot \gamma_c \quad \text{или} \quad \sigma = \frac{M}{W_n} \leq c \cdot R_y \cdot \gamma_c \quad \text{при} \quad \tau_{xy} \leq 0,5 R_s \cdot \gamma_c$$

Сравнивая это выражение с исходным, видно, что формально учет пластических деформаций сводится к **повышению**  $R_y$  умножением на величину  $c$

Кроме нормальных напряжений  $\sigma_x$ , в балках возникают также касательные напряжения  $\tau_{xy}$ , зависящие от поперечной силы  $Q$ , и локальные напряжения  $\sigma_y$  в местах передачи на балку **сосредоточенных** нагрузок



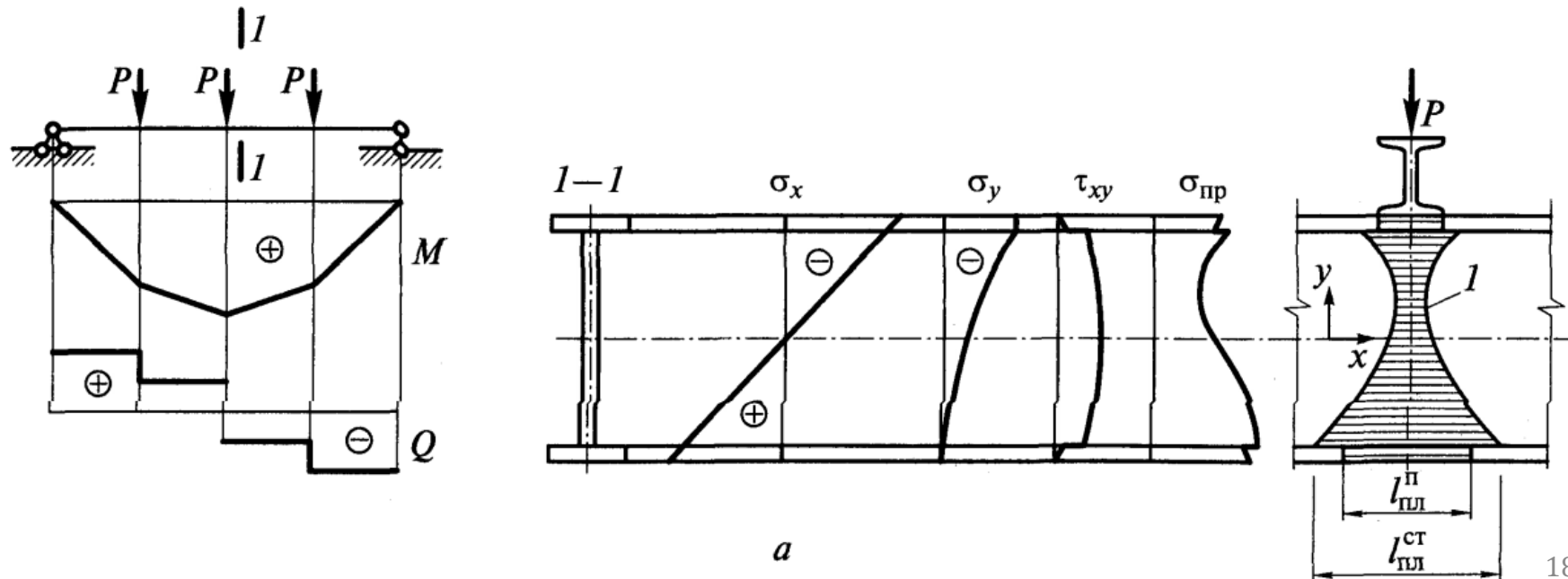
# Расчет с учетом сложного НДС и пластики

Выполняется на основе критерия пластичности  $\sigma_{пр} = \sigma_T$  по формуле:

$$\sigma_{пр} = \sqrt{\sigma_x^2 + \sigma_y^2 - \sigma_x \cdot \sigma_y + 3\tau_{xy}^2} \leq 1,15R_y \cdot \gamma_c \quad \text{при} \quad \tau_{xy} \leq R_s \cdot \gamma_c$$

где 1,15 – коэффициент, учитывающий развитие **пластических** деформаций в балке по аналогии с коэффициентом резерва несущей способности  $\epsilon$

Например, для балок, нагруженных сосредоточенными силами при частом их расположении по пролету – рис. а), определяющей будет компонента  $\sigma_x$



# Пластическая область в балке

По характеру будет близка к показанной на рисунке:

а) – расчетная схема балки

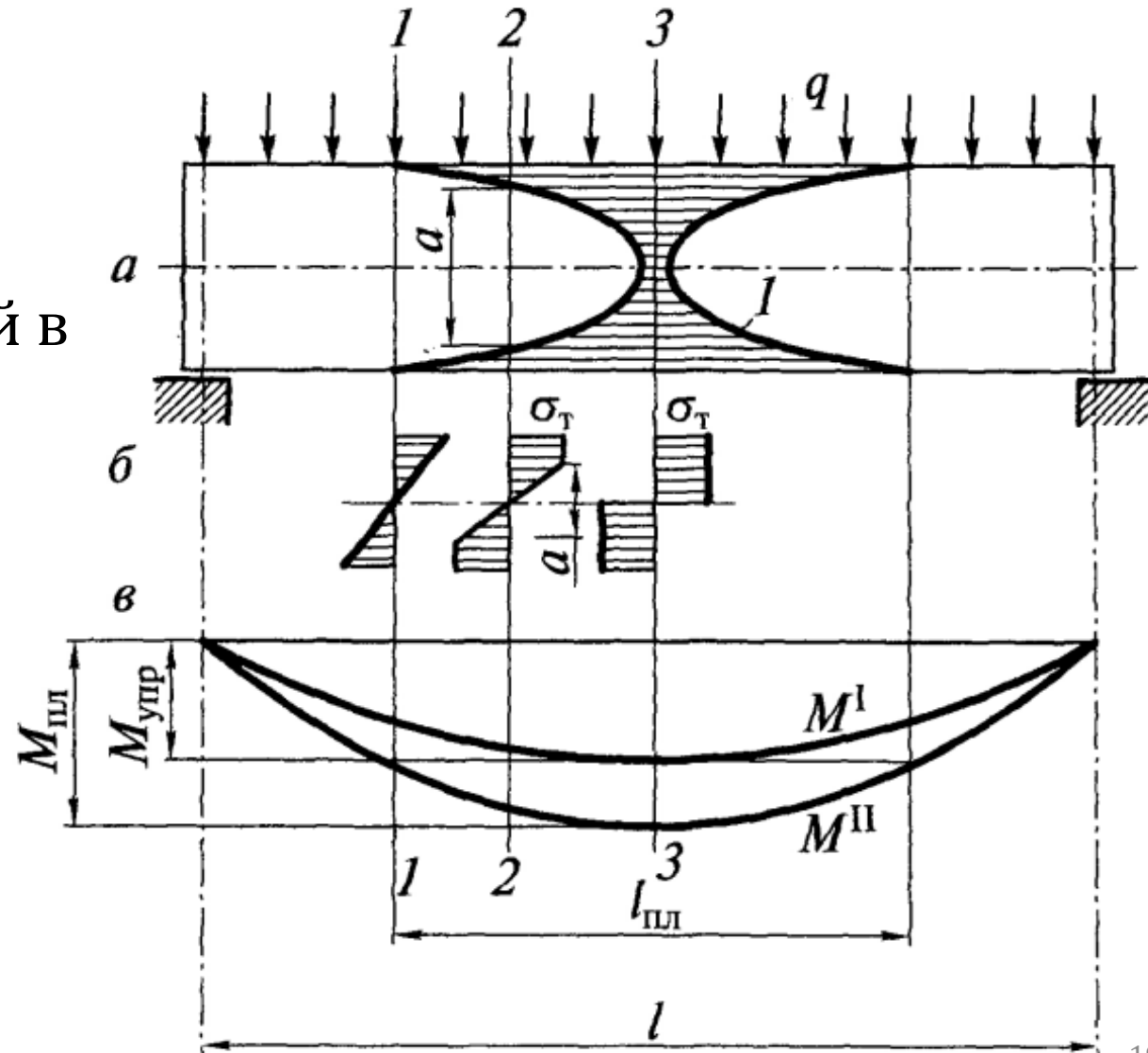
б) – эпюры нормальных напряжений в различных сечениях балки

в) – эпюры изгибающих моментов

1 – зона пластических деформаций

$M^I$  – предельная эпюра при упругой работе материала

$M^{II}$  – предельная эпюра при появлении пластического шарнира



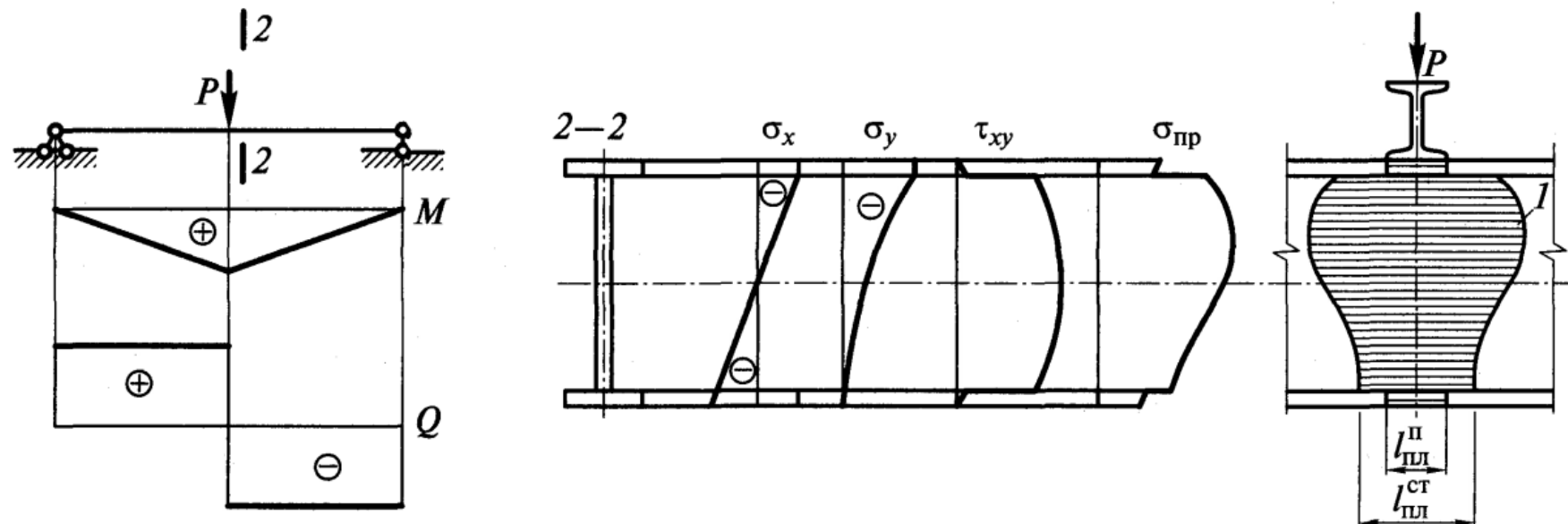
# Расчет с учетом сложного НДС и пластички

Выполняется на основе критерия пластичности  $\sigma_{пр} = \sigma_T$  по формуле:

$$\sigma_{пр} = \sqrt{\sigma_x^2 + \sigma_y^2 - \sigma_x \cdot \sigma_y + 3\tau_{xy}^2} \leq 1,15R_y \cdot \gamma_c \quad \text{при} \quad \tau_{xy} \leq R_s \cdot \gamma_c$$

где 1,15 – коэффициент, учитывающий развитие **пластических** деформаций в балке по аналогии с коэффициентом резерва несущей способности  $\epsilon$

При большой сосредоточенной нагрузке  $Q$  и балке с малым пролетом – рис. б) определяющим может быть напряжение  $\tau_{xy}$



# Изгиб в двух плоскостях с учетом пластичности

Прочность допускается проверять по упрощенной формуле:

$$\sigma_{max} = \frac{M_x}{c_x \cdot \beta \cdot W_{xn,min}} + \frac{M_y}{c_y \cdot W_{yn,min}} \leq R_y \cdot \gamma_c \quad \text{при} \quad \tau_y = \frac{Q_y}{2A_f} \leq 0,5R_s$$

где  $M_x$  и  $M_y$  – изгибающие моменты от расчетной нагрузки относительно осей  $X$  и  $Y$

$W_{xn,min}$  и  $W_{yn,min}$  – минимальные моменты сопротивления нетто поперечного сечения элемента относительно осей  $X$  и  $Y$  соответственно

$c_x$  и  $c_y$  – коэффициенты формы сечения, принимаемые по таблице Е.1 СП16.13330

$$\beta = 1 \quad \text{при} \quad \tau_x \leq 0,5R_s \quad \text{и} \quad \beta = 1 - \frac{0,2}{A_f/A_w + 0,25} \left( \frac{\tau_x}{R_s} \right)^4 \quad \text{при} \quad 0,5R_s < \tau_x \leq 0,9R_s$$

$\tau_x$  и  $\tau_y$  – касательные напряжения, параллельные осям  $X$  и  $Y$  соответственно

$R_y$  и  $R_s$  – расчетное сопротивление стали растяжению по пределу текучести и сдвигу

$\gamma_c$  – коэффициент условий работы

# Расчет прочности стенок балок

Не укрепленных ребрами жесткости, при действии местного напряжения  $\sigma_{loc}$  в верхнем поясе и на опорах балок, следует выполнять по формуле:

$$\sigma_{loc} = \frac{F}{l_{ef} \cdot t_w} \leq R_y \cdot \gamma_c$$

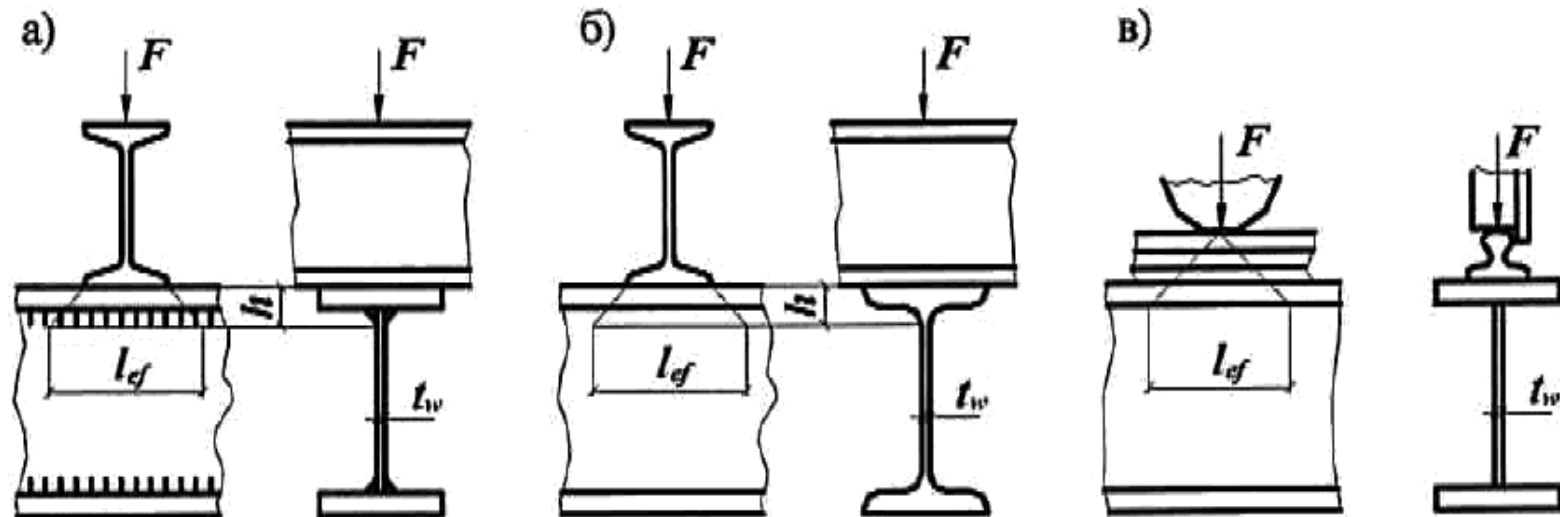
где  $F$  – расчетное значение нагрузки (силы)

$l_{ef}$  – условная длина распределения местной нагрузки

$l_{ef} = b + 2h$  – для рис. а) и б)

$l_{ef} = \Psi \sqrt{l_{ef}/t_w}$  – для рис. в)

$\Psi = 3,25(4,5)$  – для прокатных и сварных балок (для балок с фрикционными поясными соединениями)



# Элементы конструкций разделяются на классы

В зависимости от напряженно-деформированного состояния (НДС) расчетного сечения:

- **1-й класс** – НДС, при котором напряжения по всей площади сечения не превышают расчетного сопротивления стали  $|\sigma| \leq R_y$  (упругое состояние сечения)
- **2-й класс** – НДС, при котором в одной части сечения  $|\sigma| \leq R_y$ , а в другой  $|\sigma| = R_y$  (упруго-пластическое состояние сечения)
- **3-й класс** – НДС, при котором по всей площади сечения  $|\sigma| = R_y$  (пластическое состояние сечения, условный пластический шарнир)

# Общие положения расчета при изгибе:

- В зависимости от **назначения и условий эксплуатации** конструкций расчет изгибаемых элементов (балок) следует выполнять **без учета** или **с учетом** пластических деформаций в соответствии с подразделением элементов на **три** класса
- Балки **1-го** класса следует применять для нагрузок всех видов и рассчитывать в пределах упругих деформаций; балки 2-го и 3-го классов следует применять для статических нагрузок и рассчитывать с учетом развития пластических деформаций
- Балки крановых путей под краны групп режимов работы **1К-8К** по СП 20.13330 при расчете на прочность следует относить к **1-му** классу
- **Бистальные** балки следует относить ко **2-му** классу и рассчитывать с учетом ограниченных пластических деформаций в стенке, значения которых следует определять при достижении расчетного сопротивления  $R_{yf}$  в поясах, выполненных из более прочной стали



# Устойчивость центрально сжатых элементов

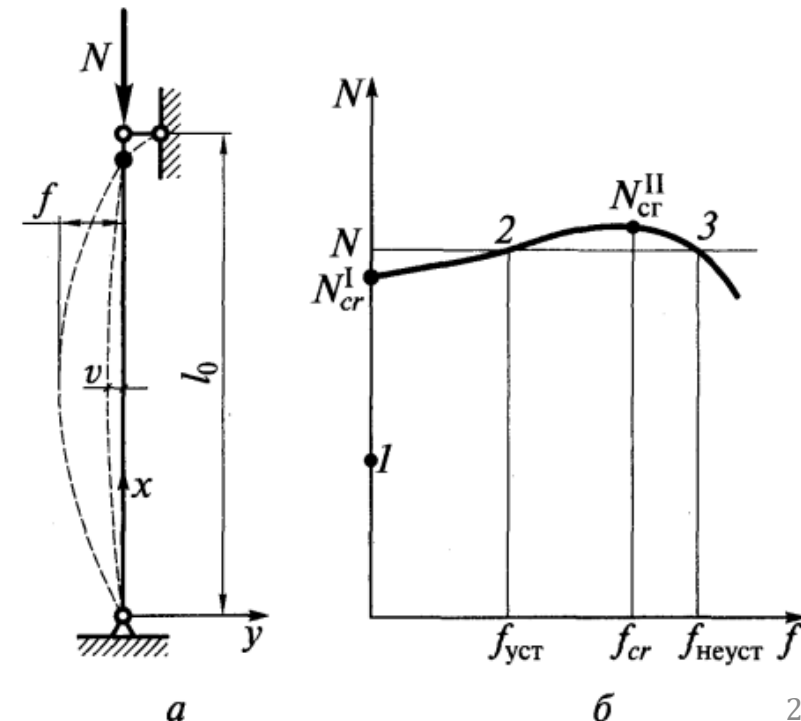
Исчерпание несущей способности длинных гибких стержней, работающих на осевое сжатие – рис. а), происходит от **потери устойчивости**

Поведение стержня под нагрузкой характеризуется графиком, представленным на рис. б). Вначале с ростом нагрузки стержень сохраняет прямолинейную форму – устойчивое состояние

При достижении критической нагрузки  $N = N_{cr}^I$ , стержень начинает резко **выпучиваться**

Дальнейший (небольшой) рост внешней нагрузки будет сопровождаться быстрым увеличением поперечного **прогиба** стержня  $f$

После достижения максимальной нагрузки – второй критической силы  $N = N_{cr}^{II}$  – стержень теряет несущую способность (неустойчивое состояние)



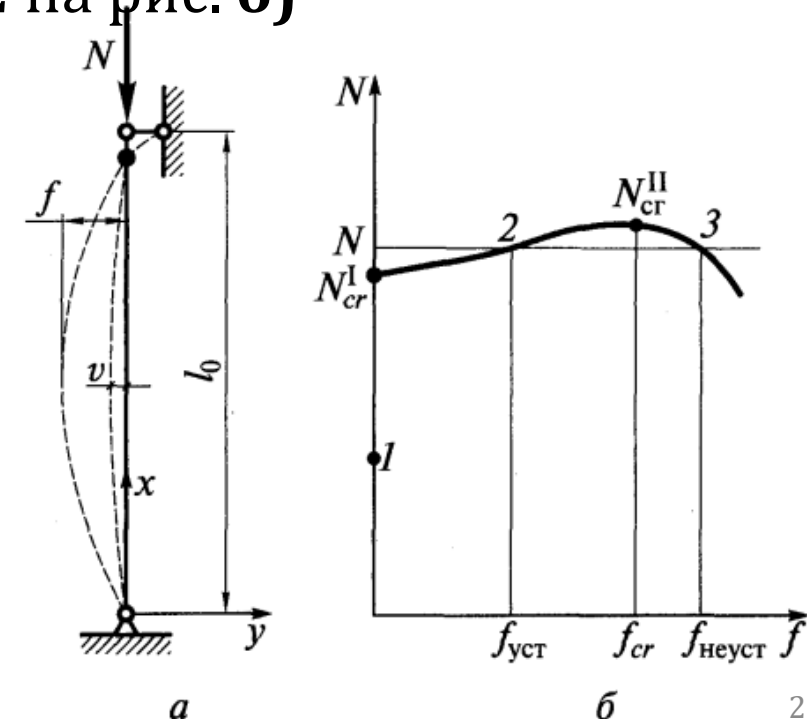
# Устойчивость равновесия

В приведенном описании термины «устойчивое состояние» или «неустойчивое состояние», «критическая сила» характеризовались соотношением между сжимающей силой и прогибом стержня, т. е. внешним его поведением

Такое определение является далеко не полным. Например, устойчивое состояние может быть при  $f = 0$  и  $f > 0$  – точки **1** и **2** на рис. б)

Однако при  $f > 0$  стержень может находиться в устойчивом состоянии (точка **2**) и неустойчивом (точка **3**) при **одинаковой** сжимающей силе  $N$

Критическое состояние может быть при  $f = 0$  и  $f > 0$  (точки  $N_{cr}^I$  и  $N_{cr}^{II}$ ). Строгое определение этих состояний можно дать на основе **энергетических принципов** с использованием понятия виртуальной работы, совершаемой внешними и внутренними силами на возможном перемещении



# Энергетические принципы и виртуальная работа

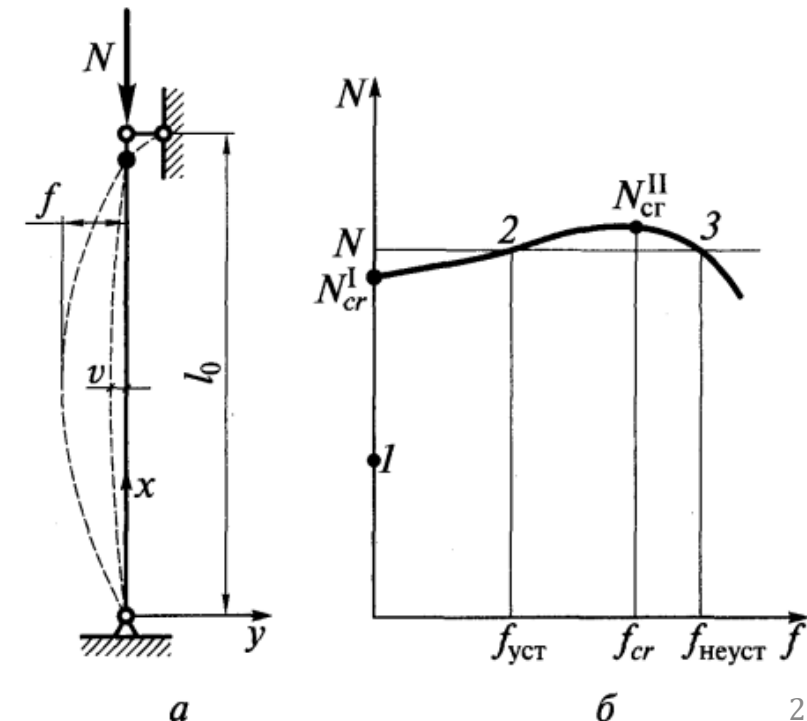
При фиксированном  $N = const$ , задавая стержню возможное перемещение, можно подсчитать приращение работ внешних  $\delta A_e$  и внутренних  $\delta A_i$  сил

Если  $\delta A_i > \delta A_e$ , то состояние стержня будет **устойчивым**, при  $\delta A_i < \delta A_e$  - **неустойчивым**, при  $\delta A_i = \delta A_e$  - **критическим**

В первом случае разница между виртуальными работами **возвращает** систему в первоначальное состояние

Во втором случае приращения работы внутренних сил  $\delta A_i$ , **недостаточно**, чтобы вернуть систему в первоначальное состояние, стержень теряет **устойчивость**

Третий случай является **пограничным** или **критическим**



# Замена приращений работ на моменты

При изучении проблемы устойчивости стержней приращения работ на возможных перемещениях можно заменить приращениями соответствующих моментов  $\delta M_e$  и внутренних  $\delta M_i$  вследствие их прямой пропорциональной зависимости

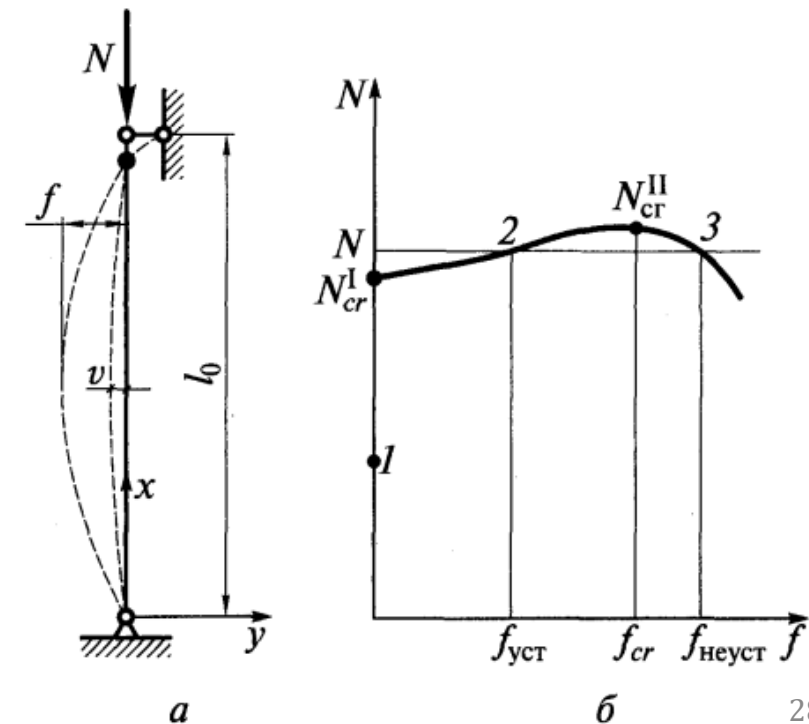
Для идеально упругого и прямолинейного стержня – рис. а) при фиксированном  $N = const$  приращение момента внешних сил при возможном прогибе с амплитудой  $v$  равно:

$$\delta M_e = N \cdot v$$

Приращение момента внутренних сил:

$$\delta M_i = K \cdot EI$$

где  $EI$  – изгибная жесткость;  $K = -y''$  – кривизна



# Критическая сила

Задавая форму возможного перемещения стержня по синусоиде:

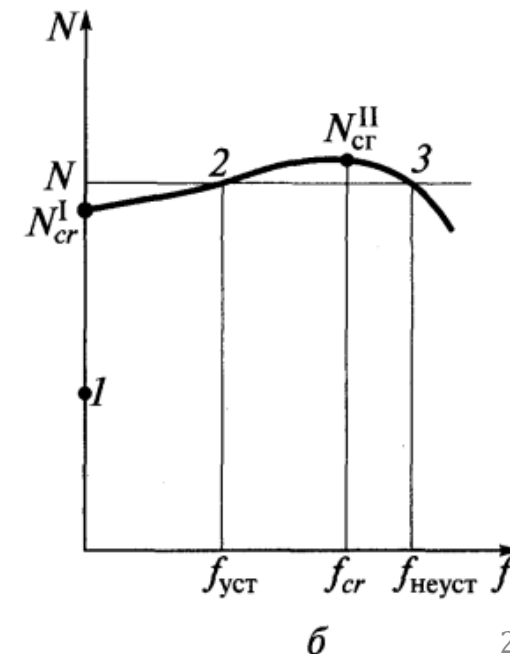
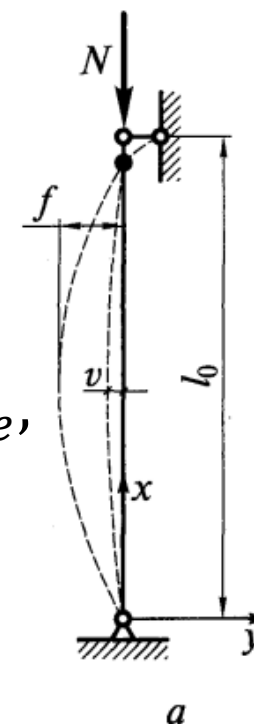
$$y = -v \cdot \sin\left(\frac{\pi x}{l_0}\right),$$

определим величину кривизны  $K$  на середине высоты  $l_0/2$ :

$$\begin{aligned} K = -y'' &= \left(-v \cdot \cos\left(\frac{\pi x}{l_0}\right) \cdot \frac{\pi}{l_0}\right)' = v \cdot \sin\left(\frac{\pi x}{l_0}\right) \cdot \frac{\pi^2}{l_0^2} = \\ &= v \cdot \sin\left(\frac{\pi \cdot l_0}{2 \cdot l_0}\right) \cdot \frac{\pi^2}{l_0^2} = v \frac{\pi^2}{l_0^2}, \end{aligned}$$

подставляя это выражение в  $\delta M_i = K \cdot EI$  и  $\delta M_i = \delta M_e$ ,  
получим:

$$v \frac{\pi^2}{l_0^2} EI = N \cdot v \rightarrow N_{cr}^I = \frac{\pi^2 \cdot EI}{l_0^2}$$



# Критическое напряжение в упругой стадии

Вычисляется по формуле:

$$\sigma_{cr} = \frac{N_{cr}^I}{A} = \frac{\pi^2 \cdot EI}{A \cdot l_0^2} = \frac{\pi^2 \cdot E \cdot i^2}{l_0^2} = \frac{\pi^2 \cdot E}{\lambda^2}$$

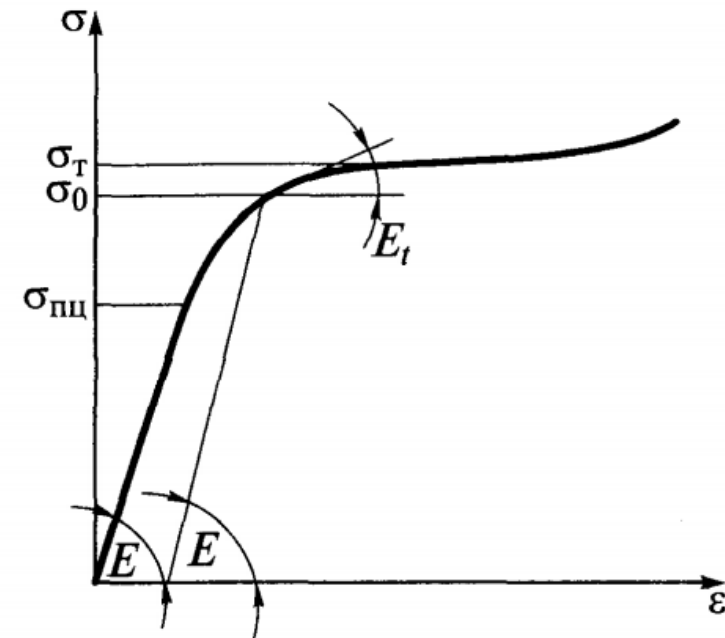
где  $A$  – площадь поперечного сечения стержня;  $i = \sqrt{I/A}$  – радиус инерции;

$\lambda = l_0/i$  – гибкость стержня;  $l_0 = \mu \cdot l$  – расчетная длина

$\mu$  – коэффициент расчетной длины

Эта формула справедлива при постоянном модуле упругости  $E$ , т. е. при напряжениях, не превышающих предел пропорциональности  $\sigma_{cr} \leq \sigma_{пц}$ , при этом:

$$\lambda \geq \pi \sqrt{E/\sigma_{пц}}$$



# Критическое напряжение в УП стадии

Для **обычных** строительных сталей  $\sigma_{\text{пц}} = 200$  МПа, следовательно,  $\lambda \geq \pi \sqrt{2,06 \cdot 10^5 / 200} \cong 100$ , для сталей **повышенной** прочности применимость формулы Эйлера ограничена значением  $\lambda \geq 85$

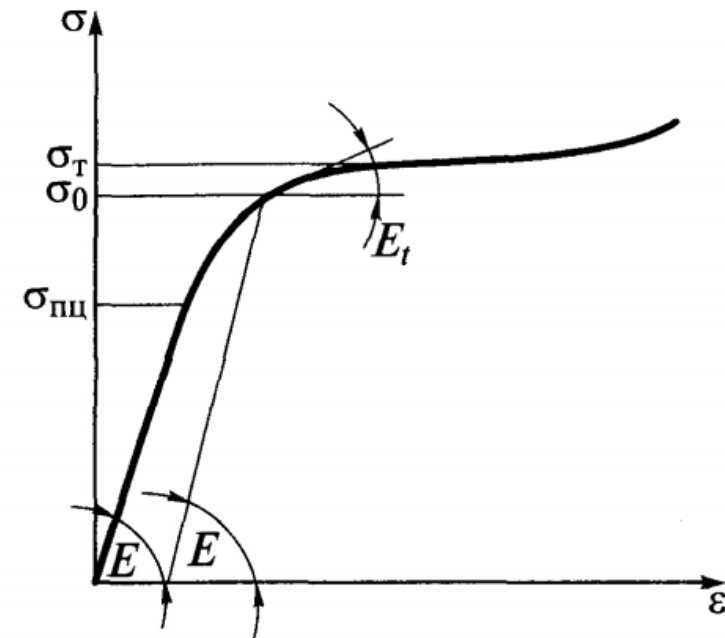
При  $\lambda$  меньше указанных стержни теряют устойчивость в упругопластической стадии работы материала с **касательным модулем деформации**  $E_t$  и при критических напряжениях вычисляемых по формуле:

$$\sigma_{cr} = \frac{\pi^2 \cdot T}{\lambda^2}$$

где  $T = (E \cdot I_1 + E_t \cdot I_2) / I$  – приведенный модуль деформаций

$E$  и  $E_t$  – модули упругости и деформаций соответственно

$I_1$  и  $I_2$  – моменты инерции упругой и упругопластической области сечения соответственно



# Зависимость $\sigma_{cr}$ от $\lambda$

Приведена на графике:

1 – кривая Эйлера

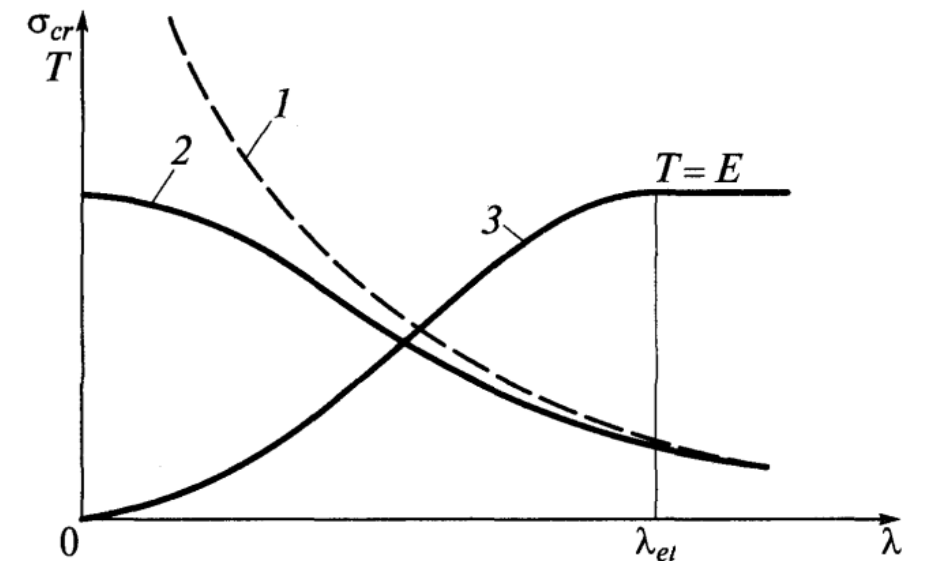
2 – кривая критических напряжения для стали Ст3

3 – зависимость приведенного модуля деформаций  $T$  от гибкости  $\lambda$

На оси абсцисс  $\lambda_{el}$  это предельное значение  $\lambda$ , ограничивающее применение формулы Эйлера

При  $\lambda < \lambda_{el}$  вид кривых  $\sigma_{cr}$  и  $T$  существенно зависит от вида кривой **работы материала**, а следовательно от марки стали (влияние  $E_t$ )

При вычислении  $\sigma_{cr}$  существенное влияние оказывает **форма сечения и ориентация** главных осей



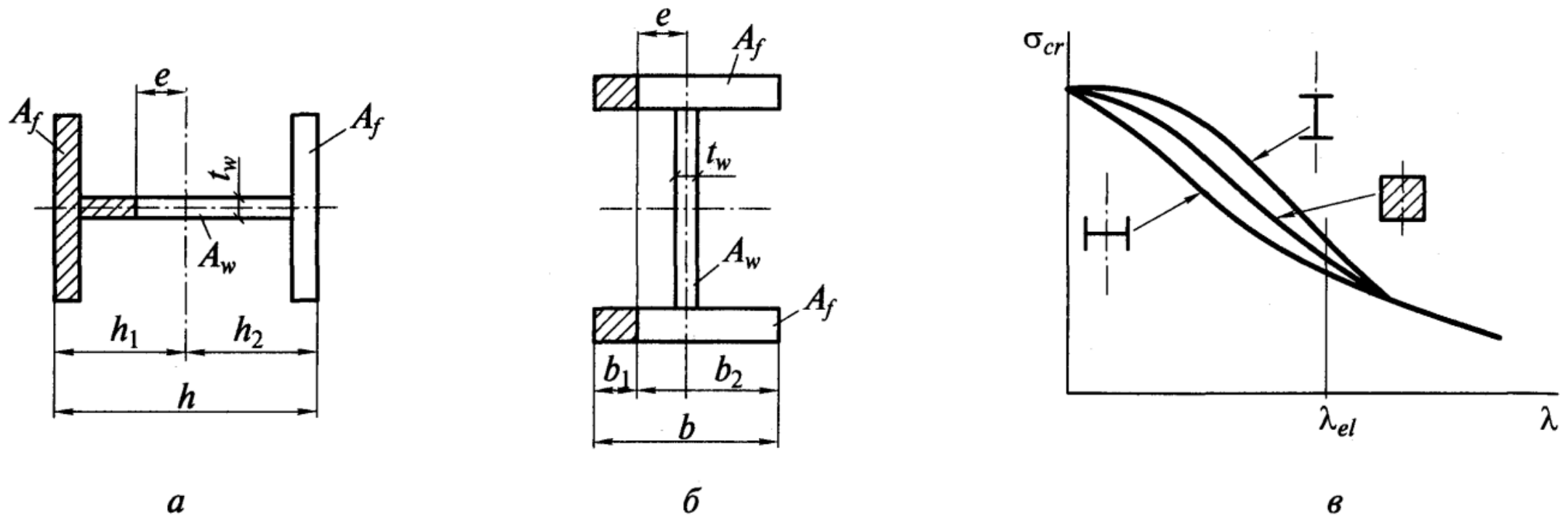


# Влияние формы и ориентации сечения

На зависимость  $\sigma_{cr}$  от  $\lambda$  приведена на рис. в)

Рис. а) – потеря устойчивости двутаврового стержня в плоскости стенки

Рис. б) – потеря устойчивости двутаврового стержня в плоскости полок



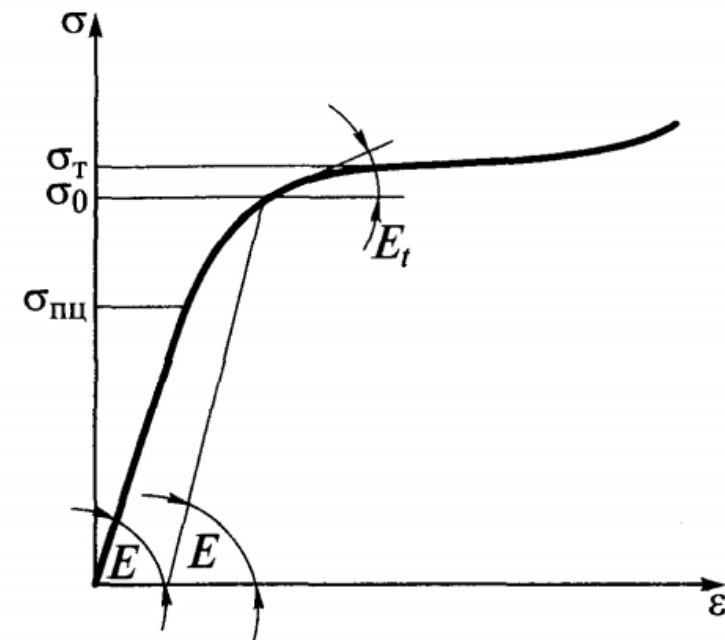
# Критическое напряжение в пластической стадии

Если деформации сжатия в процессе продольного изгиба растут, т. е. разгрузки части сечения не происходит, то все сечение будет находиться в пластическом состоянии, характеризуемом касательным модулем деформации  $E_t$

В этом случае критические напряжения в пластической области определяются по формуле:

$$\sigma_{cr} = \frac{\pi^2 \cdot E_t}{\lambda^2}$$

В этом случае критические напряжения  $\sigma_{cr}$  будут меньше по сравнению критическими напряжениями, определяемыми в упругопластической стадии на основе приведенного модуля деформации  $T$

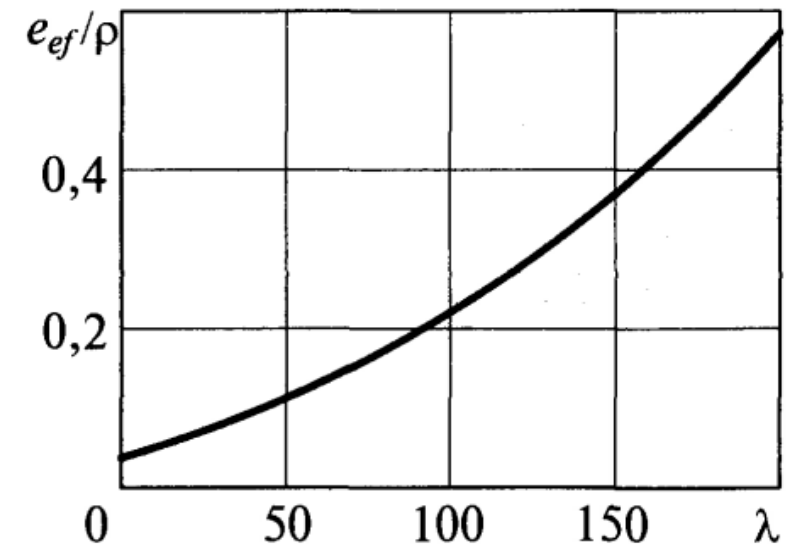


# Эксцентриситет сжимающей силы

Ранее рассматривался **идеально прямой** стержень с нагрузкой, приложенной строго по оси. В реальных конструкциях таких условий практически не существует. Ось стержня всегда имеет некоторые искривления, конструктивное оформление концов сжатых стержней не может обеспечить идеальную центровку сжимающей силы, что приводит к заметному **снижению** критических напряжений

Учет влияния указанных факторов осуществляется введением в расчет некоторого **эквивалентного** эксцентриситета сжимающей силы  $e_{ef}$

Этот **эксцентриситет** зависит от многих случайных факторов: технологии изготовления, транспортировки, монтажа, конструктивного решения стержня и его узлов и т. д.



# Коэффициент продольного изгиба $\varphi$

Устойчивость сжатого стержня будет обеспечена при условии:

$$\sigma = \frac{N}{A} \leq \sigma_{cr,e} \cdot \gamma_c$$

Если умножить и поделить правую часть выражения выше на  $R_y$  и ввести обозначение  $\varphi = \sigma_{cr,e}/R_y$  – коэффициент устойчивости, получим:

$$\sigma = \frac{N}{A} \leq \varphi \cdot R_y \cdot \gamma_c \quad \text{или} \quad \sigma = \frac{N}{\varphi \cdot A} \leq R_y \cdot \gamma_c$$

Коэффициент  $\varphi$  имеет **двойственную** природу:

$$\varphi = \frac{\sigma_{cr,e}}{R_y} = \frac{\sigma_{cr}}{R_y} \cdot \frac{\sigma_{cr,e}}{\sigma_{cr}} = \varphi_1 \cdot \varphi_2$$

где  $\varphi_1 = \sigma_{cr}/R_y$  – **детерминированный** коэффициент, учитывающий собственно **явление** продольного изгиба

$\varphi_2 = \sigma_{cr,e}/\sigma_{cr}$  – **статистический** коэффициент, учитывающий влияние **случайных** факторов, вызывающих дополнительный поперечный изгиб

# Коэффициент продольного изгиба $\varphi$

В **общем** случае:

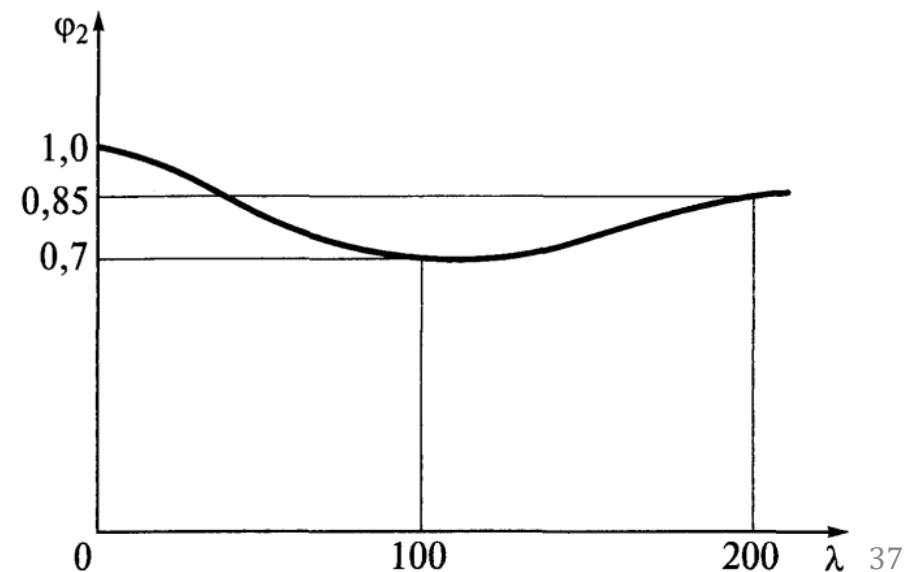
$$\varphi_1 = \frac{\sigma_{cr}}{R_y} = \frac{\pi^2 \cdot T \cdot E}{\lambda^2 \cdot R_y \cdot E} = \frac{\pi^2}{(\lambda \sqrt{R_y/E})^2} \cdot \frac{T}{E} = \frac{\pi^2}{\bar{\lambda}^2} \cdot \frac{T}{E}$$

где  $\bar{\lambda} = \lambda \sqrt{R_y/E}$  – условная гибкость (параметр, учитывающий гибкость стержня и марку стали);  $T$  – приведенный модуль деформации;  $E$  – модуль упругости стали

В **упругой стадии** при  $T = E$  получим:

$$\varphi_1 = \pi^2 / \bar{\lambda}^2$$

Коэффициент  $\varphi_2$  также зависит от **гибкости**, возрастает по мере ее **увеличения** и его минимальные значения соответствуют значению  $\lambda = 100$ , см. график зависимости



# Кривые коэффициента продольного изгиба

Зависимость  $\varphi$  от  $\bar{\lambda}$  и различных **типов сечений** приведена на графике

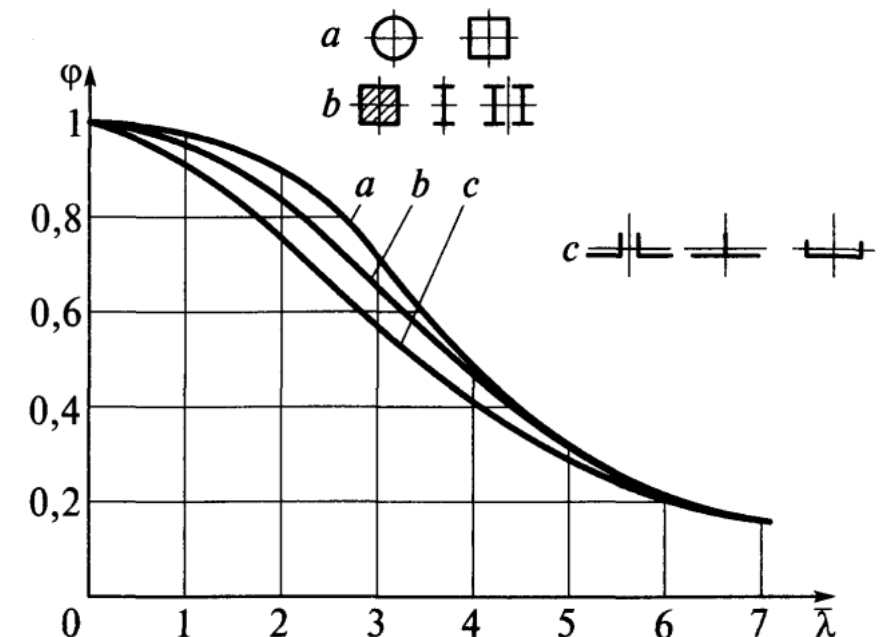
В соответствии со всеми рассмотренными **факторами**, влияющими на устойчивость центрально сжатого стержня, а именно, видом стали, формой поперечного сечения, случайными эксцентриситетами, в нормах приведены формулы (п. 7.1.3 СП 16.13330) и соответствующие таблицы (табл. Д.1 СП 16) для определения  $\varphi$ , при  $\bar{\lambda} \geq 0,6$  коэффициент определяется по формуле:

$$\varphi = 0,5 \left( \delta - \left( \delta^2 - 39,48 \bar{\lambda}^2 \right)^{1/2} \right) / \bar{\lambda}^2$$

где  $\delta = 9,87(1 - \alpha + \beta \cdot \bar{\lambda}) + \bar{\lambda}^2$

$\alpha$  и  $\beta$  – коэффициенты по табл. 7 СП 16.13330

При этом для учета формы сечения все стержни разделены на три группы: **a, b, c**, для которых приведены наборы характерных типов сечений



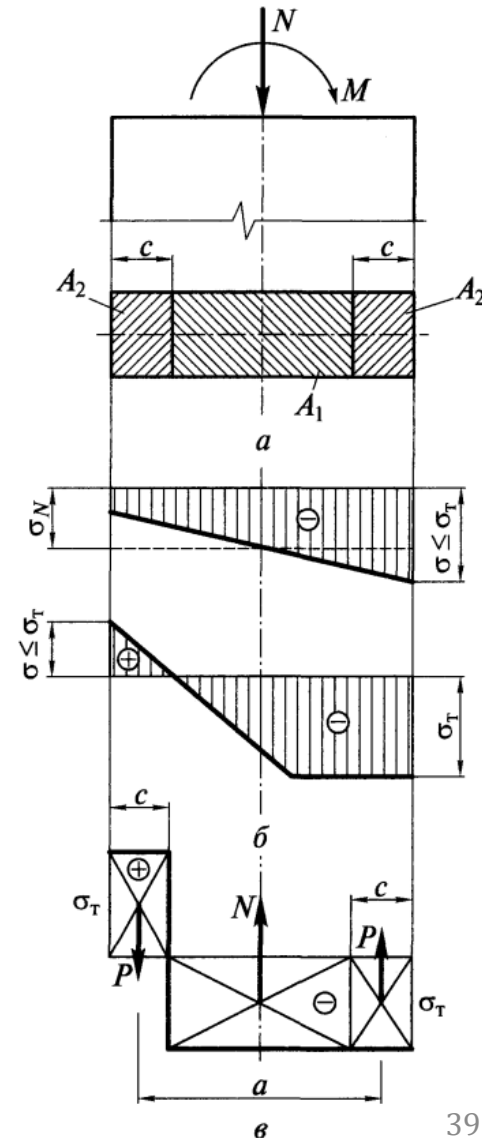
# Сжатие или растяжение элементов с изгибом

**Внецентренно сжатым** (растянутым) элемент называется в случае, если изгибающий момент вызван действием нагрузки с эксцентриситетом  $M = N \cdot e$

**Сжато(растянуто)-изогнутым** элемент называется в случае, если изгибающий момент вызван действием поперечной силы с эквивалентным эксцентриситетом  $e = M/N$

В **упругой стадии** работы материала – рис. а), напряжения в поперечном сечении стержня могут быть представлены в виде суммы напряжений от центрального **сжатия**  $\sigma_N = N/A$  и **изгиба**  $\sigma_M = M/W$

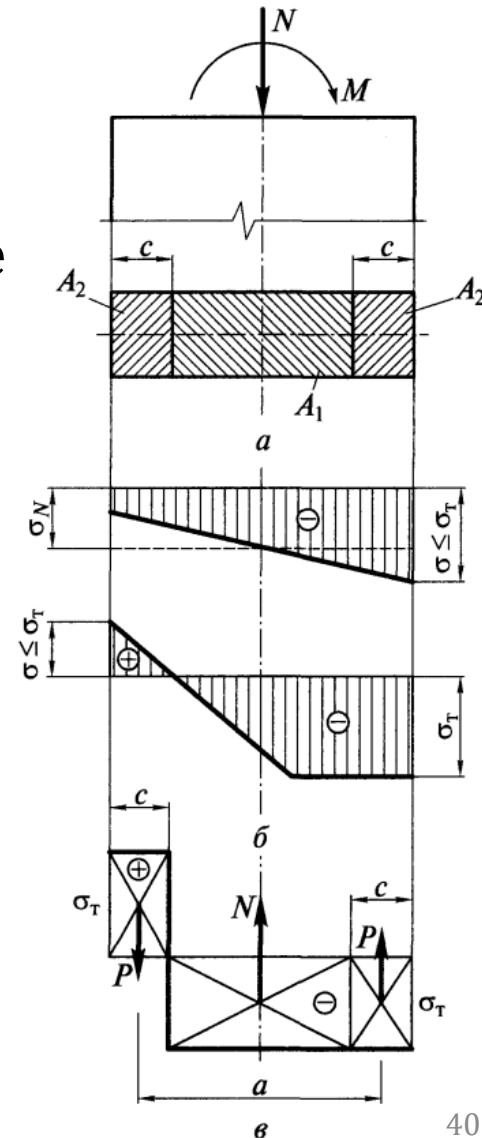
При достижении **текучности** в наиболее сжатой части сечения напряжения будут ограничиваться **пределом текучести**  $\sigma_T$ , а с противоположной стороны могут возрасти напряжения **растяжения** – рис. б)



# Сжатие или растяжение элементов с изгибом

В **предельном** случае эпюра напряжений будет состоять из двух **прямоугольников** разной величины – рис. в)

По аналогии с **изгибом** (см. рис. в) на слайде 11) такое состояние соответствует **пластическому шарниру** при **внецентренном сжатии** (внецентренном **растяжении**). Две разнозначные части эпюры шириной  $c$  уравнивают внешний момент  $P \cdot a = M$ , остальная часть – осевую силу  $N$





# Сжатие или растяжение элементов с изгибом

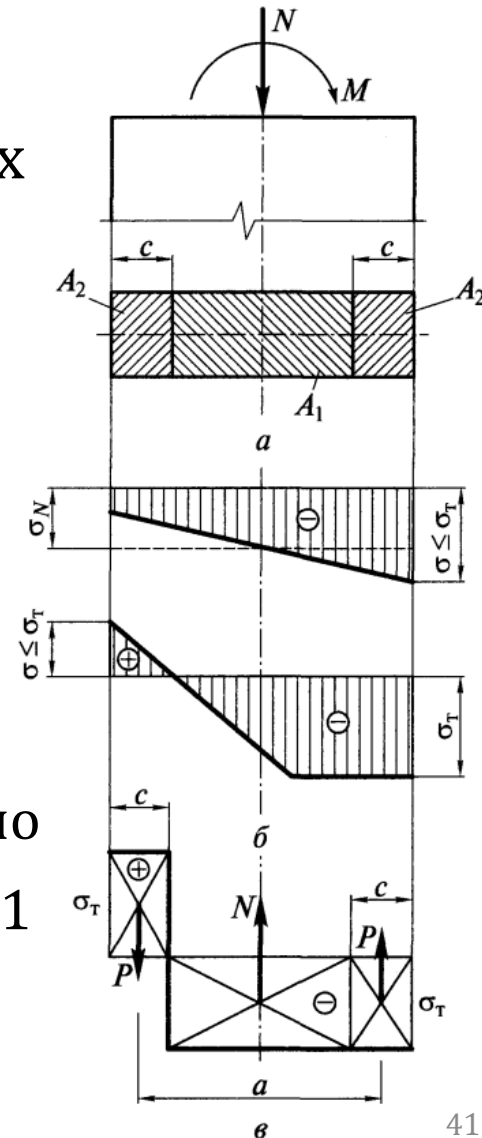
В общем случае для элементов из сталей  $R_{yn} \leq 440$  МПа, не подвергающихся непосредственному воздействию динамических нагрузок, при напряжениях  $\tau \leq 0,5R_s$  и  $\sigma = N/A_n > 0,1R_y$  прочность проверяют по формуле:

$$\left(\frac{N}{A_n}\right)^n + \frac{M_x}{c_x \cdot W_{xn,min}} + \frac{M_y}{c_y \cdot W_{yn,min}} \leq R_y \cdot \gamma_c$$

где  $M_x$  и  $M_y$  – изгибающие моменты от расчетной нагрузки относительно осей  $X$  и  $Y$

$W_{xn,min}$  и  $W_{yn,min}$  – минимальные моменты сопротивления нетто поперечного сечения элемента относительно осей  $X$  и  $Y$  соответственно

$n$ ,  $c_x$  и  $c_y$  – коэффициенты формы сечения, принимаемые по таблице Е.1 СП16.13330



# Сжатие или растяжение элементов с изгибом

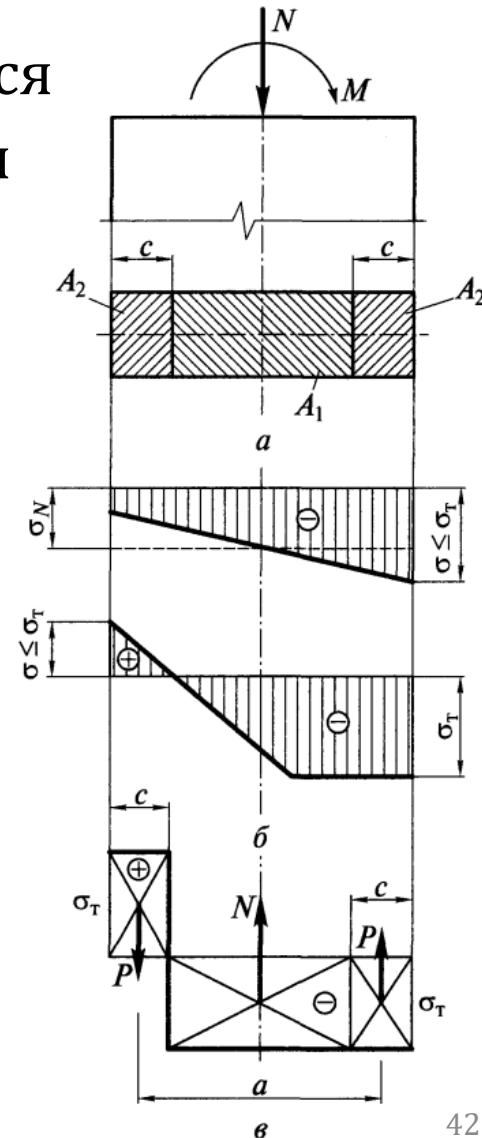
В случае для элементов из сталей  $R_{yn} > 580$  МПа, подвергающихся воздействию динамических нагрузок и в которых не допускается развитие пластических деформаций, прочность проверяют по формуле:

$$\frac{N}{A_n} \pm \frac{M_x \cdot y}{I_{xn}} \pm \frac{M_y \cdot x}{I_{yn}} \leq R_y \cdot \gamma_c$$

где  $M_x$  и  $M_y$  – изгибающие моменты от расчетной нагрузки относительно осей  $X$  и  $Y$

$I_{xn}$  и  $I_{yn}$  – моменты инерции нетто поперечного сечения элемента относительно осей  $X$  и  $Y$  соответственно

$x$ ,  $y$  – расстояния от главных осей до рассматриваемой точки сечения

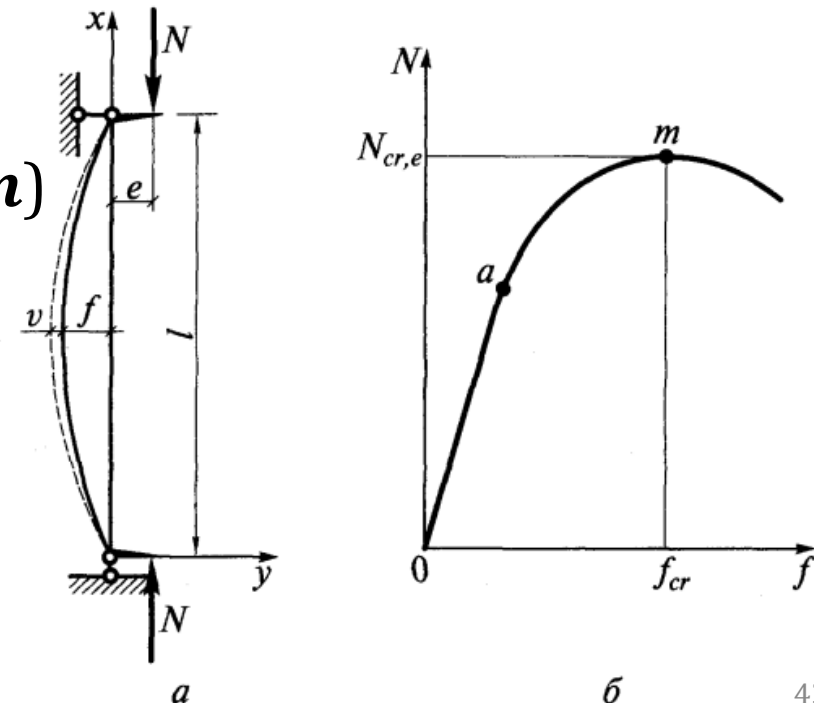


# Устойчивость при внецентренном сжатии

Потеря **несущей способности** длинных гибких стержней при одновременном действии сжимающей силы и изгибающего момента происходит от потери устойчивости. При этом состояние равновесия может быть определено так же, как для центрального сжатия – с помощью энергетического баланса:

- при  $\delta A_i = \delta A_e$  – **критическое** состояние (точка ***m***)
- при  $\delta A_i > \delta A_e$  – **устойчивое** состояние (левее ***m***)
- при  $\delta A_i < \delta A_e$  – **неустойчивое** состояние (правее ***m***)

**Прогиб** появляется с самого начала приложения нагрузки и возрастает с ее ростом, вначале **линейно** в соответствии с **упругой** работой материала, а затем **нелинейно** по мере развития **пластических** деформаций и появления **геометрической** нелинейности – участок ***a – m*** на рис. б)



# Относительный и приведенный эксцентриситеты

Зависит от эксцентриситета  $e$  и уменьшается по мере его увеличения. Удобнее на практике пользоваться безразмерным **относительным** эксцентриситетом:

$$m = e/\rho$$

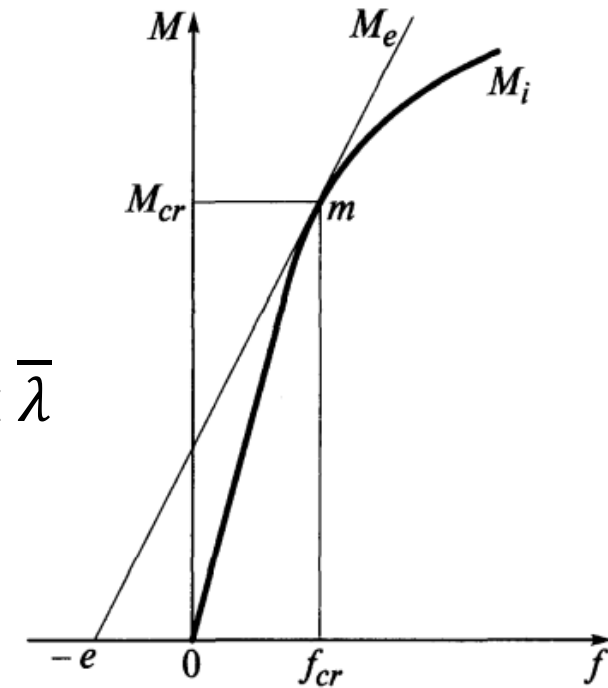
где  $\rho = W/A$  – ядровое расстояние со стороны наиболее сжатой фибры стержня

$W$  и  $A$  – момент сопротивления и площадь сечения

**Критическая** сила зависит также от формы поперечного сечения стержня, которая учитывается коэффициентом влияния **формы** сечения  $\eta$ , зависящим в свою очередь от относительного **эксцентриситета**  $m$  и условной **гибкости**  $\bar{\lambda}$

Для расчетов используют **приведенный** эксцентриситет:

$$m_{ef} = m \cdot \eta$$



# Проверка устойчивости при внецентренном сжатии

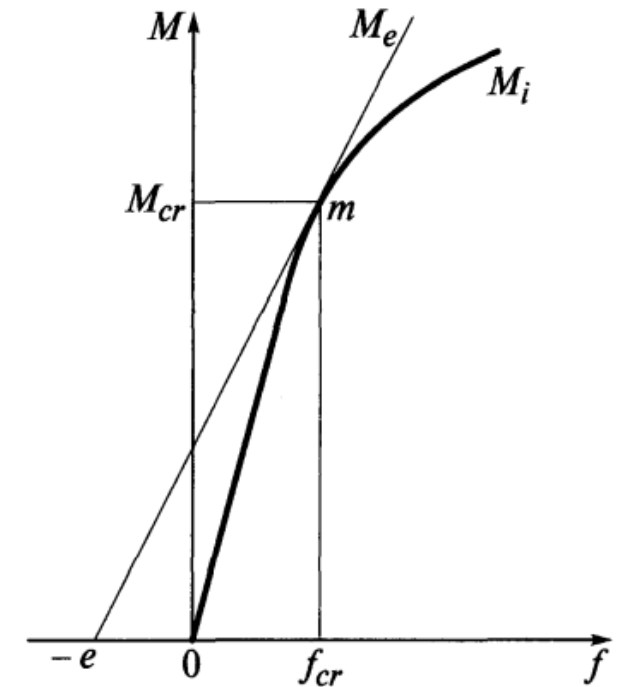
Выполняется по аналогии с центрально сжатыми элементами:

$$\sigma = \frac{N}{A} \leq \varphi_e \cdot R_y \cdot \gamma_c \quad \text{или} \quad \sigma = \frac{N}{\varphi_e \cdot A} \leq R_y \cdot \gamma_c$$

где  $\varphi_e = \sigma_{cr,e}/R_y$  – коэффициент устойчивости при внецентренном сжатии, зависящий от условной гибкости  $\bar{\lambda}$  и приведенного эксцентриситета  $m_{ef}$  и определяемый согласно табл. Д.3 СП 16.13330

При значениях  $m_{ef} > 20$  расчет следует выполнять как для изгибаемых элементов

Расчетные значения продольной силы  $N$  и изгибающего момента  $M$  в элементе следует принимать для одного и того же сочетания нагрузок из расчета системы по недеформированной схеме в предположении упругих деформаций стали

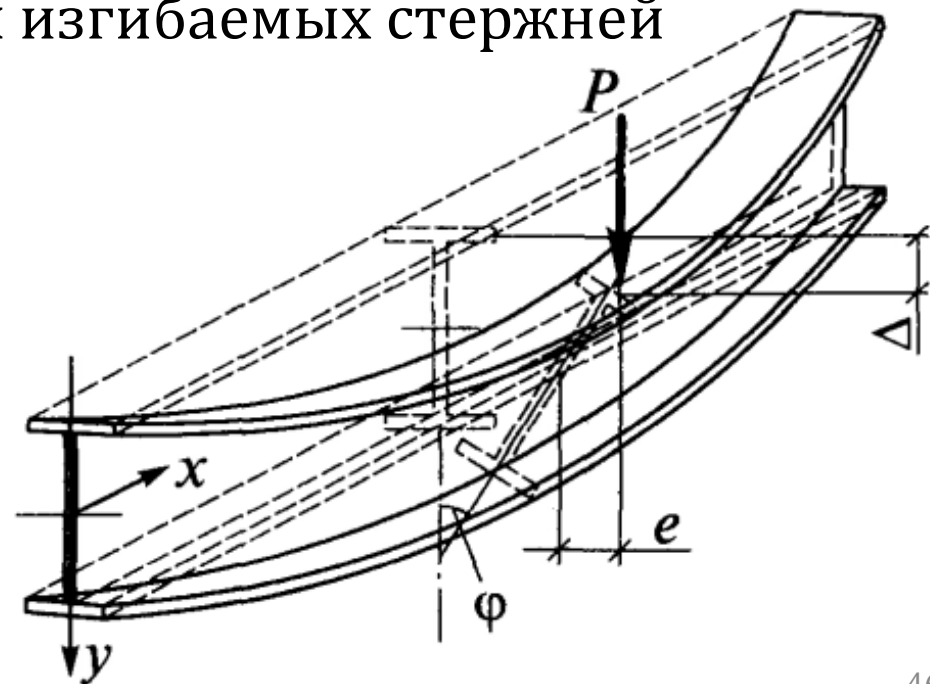


# Устойчивость плоской формы изгиба стержней

Ранее рассмотрена устойчивость стержня, испытывающего одновременное действие сжимающих и изгибающих сил. Предполагалось, что главенствующую роль в работе стержня играет **продольная сила**, а **поперечный изгиб** только усугубляет его работу. Проблема устойчивости не исчезнет, если главную роль будут играть **поперечные силы**. В частности, при отсутствии **продольных сил** остается опасность потери **общей устойчивости** изгибаемых стержней

Известно, что при изгибе в балке образуются две зоны: сжатая и растянутая. При определенной величине нагрузки (критической) **сжатая часть** балки может потерять **устойчивость**

**Выпучивание** произойдет перпендикулярно плоскости изгиба. Это вызовет горизонтальный прогиб всей балки и стесненное кручение



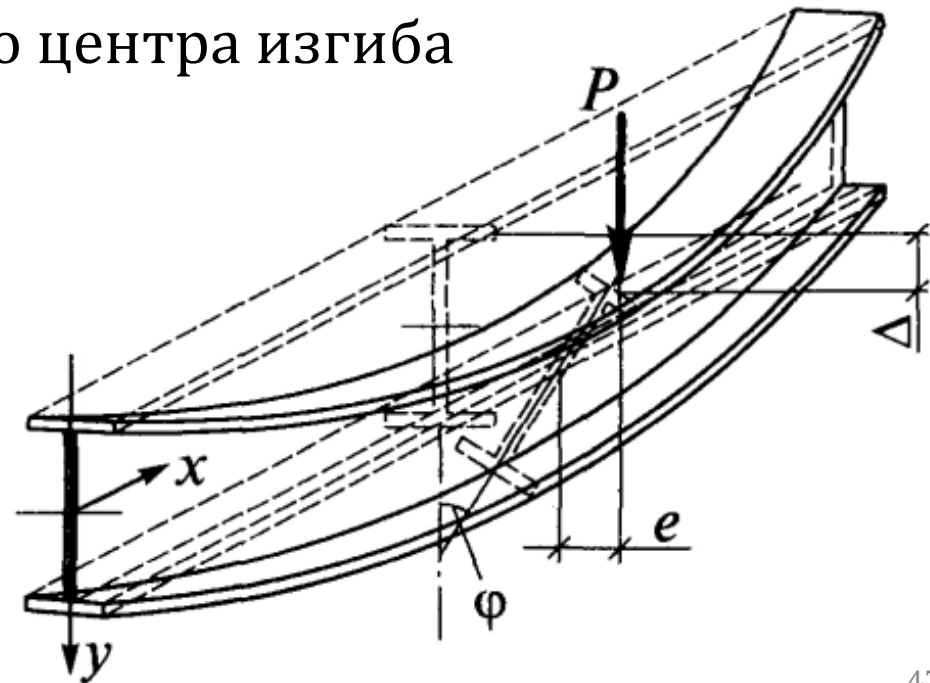
# Дополнительный эксцентриситет

В теоретическом плане задача **общей устойчивости** балок аналогична случаю сжатых стержней: критическое состояние характеризуется равенством вариации работ внешних и внутренних сил при возможном перемещении:

$$\delta A_i = \delta A_e$$

Вследствие закручивания балки у вертикальной силы  $P$  возникает дополнительный эксцентриситет  $e$  относительно центра изгиба

В зависимости от приложения нагрузки к верхнему либо нижнему поясу эксцентриситет соответственно **увеличивает** или **уменьшает** закручивание балки, поэтому расположение нагрузки на **верхнем** поясе значительно **опаснее**





# Критический момент

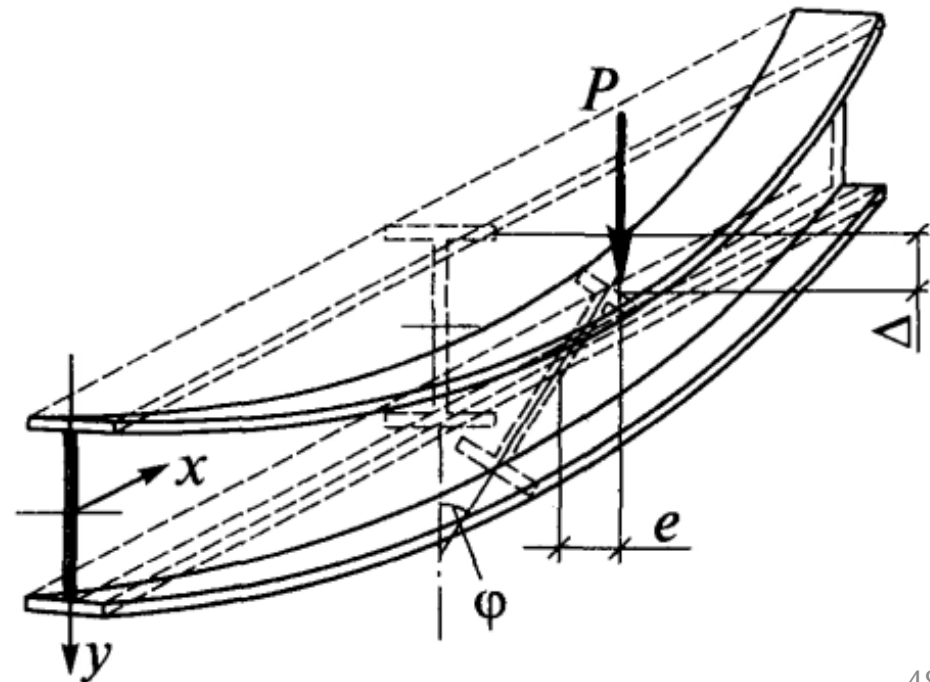
Критической **силе** соответствуют критический **момент**  $M_{cr} = k_1 \cdot P_{cr} \cdot l$  и критическое напряжение  $\sigma_{cr} = M_{cr}/W_x$ , где  $k_1$  – коэффициент, зависящий от расчетной схемы балки и вида нагрузки

При проверке **общей устойчивости** балки максимальное напряжение от изгиба сравнивается с критическим напряжением:

$$\sigma = \frac{M}{W_x} \leq \sigma_{cr} \cdot \gamma_c$$

Если умножить и поделить правую часть выражения выше на  $R_y$  и ввести обозначение  $\varphi_b = \sigma_{cr}/R_y$  – коэффициент устойчивости балки (согласно Приложения Ж СП 16.13330), получим:

$$\sigma = \frac{M}{W_x} \leq \varphi_b \cdot R_y \cdot \gamma_c \quad \text{или} \quad \sigma = \frac{M}{\varphi_b \cdot W_x} \leq R_y \cdot \gamma_c$$





# Дополнительные проверки прочности:

- Расчет на кручение
- Расчет на совместное действие изгиба, сжатия и кручения
- Расчет местной устойчивости стенок
- Расчет местной устойчивости поясов (полок)
- Расчет на воздействие переменных нагрузок (проверка на **усталость**)
- Расчет на прочность с учетом хрупкого разрушения (проверка на **хладостойкость**)

И дополнительные **конструктивные ограничения** при назначении габаритов элементов в зависимости от **классов** конструкций

# Литература:

- СП 16.13330.2017 Стальные конструкции
- Кудишин Ю.И., Беленя Е.И., Игнатьева В.С. [и др.]. Металлические конструкции: Учебник для студ. учреждений высш. проф. образования. – 13-е изд., испр. – М.: Издательский центр «Академия», 2011. – 688 с.

**ИФО | 01.03.04 | ПМ | 6-й семестр**

# **Строительные конструкции**

## **Лекция №15**



НАЦИОНАЛЬНЫЙ ИССЛЕДОВАТЕЛЬСКИЙ  
МОСКОВСКИЙ ГОСУДАРСТВЕННЫЙ

**СТРОИТЕЛЬНЫЙ  
УНИВЕРСИТЕТ**

www: [mgsu.ru/universityabout/Struktura/Kafedri/ZhBK/](http://mgsu.ru/universityabout/Struktura/Kafedri/ZhBK/)

e-mail: [gbk@mgsu.ru](mailto:gbk@mgsu.ru); [dpekin@mail.ru](mailto:dpekin@mail.ru)

тел.: +7 495 287 49 14 доб. 3036, 3084

Пекин Дмитрий Анатольевич, доцент, к.т.н.